

MINISTERUL EDUCAȚIEI ȘI CERCETĂRII



UNIVERSITATEA TEHNICĂ
DIN CLUJ-NAPOCA

FACULTATEA DE AUTOMATICĂ ȘI CALCULATOARE

2022



OPTIMIZAREA ADAPTIVĂ A EXECUȚIEI MIȘCĂRILOR ROBOȚILOR INDUSTRIALI

PROIECT DE DIPLOMĂ

Autor:

Conducător științific:

2022

MINISTERUL EDUCAȚIEI NAȚIONALE



UNIVERSITATEA TEHNICĂ
DIN CLUJ-NAPOCA

FACULTATEA DE AUTOMATICĂ ȘI CALCULATOARE



UNIVERSITATEA TEHNICĂ

DIN CLUJ-NAPOCA

FACULTATEA DE AUTOMATICĂ ȘI CALCULATOARE

Vizat,

DECAN

Prof.dr.ing. Liviu MICLEA

DIRECTOR DEPARTAMENT AUTOMATICĂ

Prof.dr.ing. Honoriu VĂLEAN

Autor: **Radu-Cristian GOȚA**

OPTIMIZAREA ADAPTIVĂ A EXECUȚIEI MIȘCĂRILOR ROBOȚILOR INDUSTRIALI

1. Enunțul temei: În această lucrare se prezintă modul de funcționare al roboților în mediul industrial, integrarea acestora împreună cu un controler logic programabil folosind o tehnologie de comunicație utilizată în practică și conceperea unei strategii de scurtare a timpilor necesari pentru procesarea unei piese/componente, exemplificată prin intermediul unei aplicații de tipul "Pick and Place" ce simulează stațiile de prelucrare.
2. Conținutul proiectului: Pagina de prezentare, Declarație privind autenticitatea proiectului, Sinteza proiectului, Cuprins, Introducere, Studiu bibliografic, Aparatură *hardware* utilizată, Analiză, proiectare și implementare, Concluzii și Direcții de dezvoltare, Bibliografie, Anexe.
3. Locul documentației: Universitatea Tehnică din Cluj-Napoca, Departamentul de Automatică
4. Data emiterii temei:
5. Data predării:

Semnătura autorului

Semnătura conducătorului științific

MINISTERUL EDUCAȚIEI NAȚIONALE



UNIVERSITATEA TEHNICĂ
DIN CLUJ-NAPOCA

FACULTATEA DE AUTOMATICĂ ȘI CALCULATOARE



Listă de figuri

FIGURA 1.1: INTEGRAREA PLC-ULUI CU ROBOTUL ȘI CELELALTE STAȚII	1
FIGURA 2.1: ARHITECTURA UNUI PLC	5
FIGURA 2.2: PREZENTAREA GENERALĂ A UNUI SISTEM DE CONTROL DISTRIBUIT	6
FIGURA 2.3: TEACH PENDANTS	9
FIGURA 2.4: SISTEMUL DE CONTROL AL UNUI ROBOT INDUSTRIAL	11
FIGURA 2.5: ARHITECTURA UNEI REȚELE INDUSTRIALE	13
FIGURA 2.6: LOCALIZAREA PUNCTELOR DE PLASARE A COMPONENTELOR PENTRU MINIMIZAREA DISTANȚELOR PARCURSE DE ROBOT .	19
FIGURA 3.1: ARHITECTURA MODELULUI FAMILIEI DE PLC-URI CX51x0 [13]	20
FIGURA 3.2: COMPORTAMENTUL PLC-ULUI ÎN CAZUL UNEI PENE DE CURENT [13]	21
FIGURA 3.3: CONTROLER CS9 [14]	22
FIGURA 3.4: BRAȚUL ROBOTIC TS2-80	23
FIGURA 3.5: TEACH PENDANT [14]	24
FIGURA 3.6: PRINCIPIUL DE FUNCȚIONARE AL TEHNOLOGIEI ETHERCAT	25
FIGURA 3.7: MAȘINĂ DE STARE ETHERCAT [15]	27
FIGURA 4.1: INTERFAȚĂ DE PORNIRE TWINCAT 3	28
FIGURA 4.2: CREAREA UNUI NOU PROIECT NOU ÎN TWINCAT 3	29
FIGURA 4.3: SOLUTION EXPLORER ÎN PROGRAMUL TWINCAT 3	29
FIGURA 4.4: TAB-UL SYSTEM DIN CADRUL SOLUTION EXPLORER	30
FIGURA 4.5: ADĂUGAREA UNEI RUTE NOI ȘI CONECTAREA COMPUTERULUI LOCAL CU PLC-UL	30
FIGURA 4.6: SELECTAREA LICENȚELOR DORITE PENTRU APLICAȚIA DIN TWINCAT 3	30
FIGURA 4.7: CONFIGURARE PROPRIETĂȚILOR DE TIMP REAL ALE APLICAȚIEI	31
FIGURA 4.8: CREAREA UNEI APLICAȚII PENTRU PLC FOLOSIND TWINCAT 3	31
FIGURA 4.9: STRUCTURA UNUI PROGRAM PLC	32
FIGURA 4.10: ADĂUGAREA UNUI DISPOZITIV ETHERCAT MASTER	32
FIGURA 4.11: REZULTATUL SCANĂRII DISPOZITIVELOR DE TIP SLAVE DIN TWINCAT 3	33
FIGURA 4.12: TERMINALE CONECTATE FIZIC PRECUM ÎN FIGURA 3.6	33
FIGURA 4.13: FIȘIER ETHERCAT SLAVE INFORMATION(ESI) PENTRU ROBOT	33
FIGURA 4.14: LEGĂTURA DINTRE VARIABILELE DIN PROGRAM ȘI FIȘIERUL ESI	34
FIGURA 4.15: FLUXUL DE LUCRU AL APLICAȚIEI	34
FIGURA 4.16: COMPONENTELE APLICAȚIEI PENTRU PLC	35
FIGURA 4.17: ADĂUGAREA UNEI NOI FUNCȚII BLOC ÎN PROGRAMUL PLC-ULUI	35
FIGURA 4.18: ORGANIZAREA APLICAȚIEI ȘI MODUL DE COMUNICARE	36
FIGURA 4.19: MODUL DE LUCRU AL FUNCȚIEI BLOC FB_CONVEYOR	37
FIGURA 4.20: INTERFAȚĂ GRAFICĂ TWINCAT 3	39
FIGURA 4.21: CREAREA UNEI VIZUALIZĂRI ÎN TWINCAT 3	39
FIGURA 4.22: EROARE TARGET SYSTEM	40
FIGURA 4.23: EROARE LIPSĂ MASTER	40
FIGURA 4.24: CONFIGURAREA BRAȚULUI ROBOTIC TS2-80	41
FIGURA 4.25: STRUCTURA PROGRAMULUI ÎN STÄUBLI ROBOTICS SUITE	42



FIGURA 4.26: CONFIGURAREA PORTULUI J207/J208 DIN CONTROLERUL CS9.....	42
FIGURA 4.27: LEGĂTURA DINTRE VARIABLE ȘI INTRĂRI/IEȘIRI DIN PROGRAMUL STÄUBLI ROBOTICS SUITE	43
FIGURA 4.28: INTERFAȚĂ GRAFICĂ STÄUBLI ROBOTICS SUITE	44
FIGURA 4.29: INTERFAȚA PENDANT-ULUI DE PROGRAMARE AL ROBOTULUI	45
FIGURA 4.30: DESCĂRCAREA ȘI RULAREA APLICAȚIEI PE ROBOTUL FIZIC.....	45
FIGURA 4.31: MODIFICAREA COORDONATELOR UNUI PUNCT PRIN INTERMEDIUL PENDANT-ULUI	46
FIGURA 4.32: MEMORAREA COORDONATELOR POZIȚIEI ROBOTULUI	46
FIGURA 4.33: REPREZENTAREA 2D VĂZUTĂ DE SUS A SPAȚIULUI DE LUCRU.....	47
FIGURA 4.34: REPREZENTAREA 3D A LOCAȚIILOR DE RIDICARE/PLASARE A PIESELOR	47
FIGURA 4.35: PRINCIPIUL DE COMUNICARE DINTRE PLC ȘI ROBOTUL STÄUBLI	49
FIGURA 4.36: EXEMPLU DE ÎMBUNĂTĂȚIRE AL APLICAȚIEI	52
FIGURA 4.37: GRAFUL ORIENTAT AL APLICAȚIEI	52
FIGURA 4.38: REZULTATE ÎN URMA APLICĂRII OPTIMIZĂRII	55

MINISTERUL EDUCAȚIEI NAȚIONALE



UNIVERSITATEA TEHNICĂ
DIN CLUJ-NAPOCA

FACULTATEA DE AUTOMATICĂ ȘI CALCULATOARE



SINTEZA

proiectului de diplomă cu titlul:

Optimizarea adaptivă a execuției mișcărilor roboților industriali

Autor:

Conducător științific:

1. Cerințele temei: conceperea, crearea și simularea unui proces industrial de fabricație, integrarea acestuia cu un robot care asigură transportul componentelor produse și dezvoltarea unei metode de îmbunătățire a nivelului producției.
2. Soluții alese: crearea și implementarea a două aplicații, una prin care stațiile de lucru sunt simulate în mediul de dezvoltare integrat *Twincat 3* pentru un computer logic programabil *Beckhoff CX5140* folosind limbajul *Structured Text* și una pentru coordonarea mișcărilor robotului *Stäubli TS2-80* folosind mediul de programare *Stäubli Robotics Suite* folosind limbajul *VAL3*. Dezvoltarea unui algoritm de optimizare prin care se minimizează timpul de ciclu.
3. Rezultate obținute: un sistem complet automatizat format din mai multe stații simulate de procesare prin care piesele/componentele trebuie să treacă secvențial, o strategie de transport a acestora bazată pe manevrarea unui braț robotic și o metodă de comunicare care să faciliteze schimbul de date dintre computerul logic programabil și robot. Un algoritm de optimizare a secvenței de mișcări a robotului prin care timpul de ciclu a fost îmbunătățit.
4. Testări și verificări: testarea modului automat, în care procesul se execută independent, fără intervenție asupra lui, testarea eficienței algoritmului de optimizare aplicat și al soluției de comunicare implementată.



5. Contribuții personale: realizarea ambelor aplicații necesare pentru simulare, a comunicațiilor aferente dintre acestea și dezvoltarea algoritmului de optimizare.

6. Surse de documentare: articole științifice și cărți de specialitate din domeniul de comunicații, al computerelor logice programabile și al roboților industriali; manuale de utilizare și documentație al programelor *Twincat 3*, *Stäubli Robotics Suite*. Standarde și norme impuse în ceea ce privește programarea elementelor industriale.

Semnătura autorului

Semnătura conducătorului științific

MINISTERUL EDUCAȚIEI NAȚIONALE



UNIVERSITATEA TEHNICĂ
DIN CLUJ-NAPOCA

FACULTATEA DE AUTOMATICĂ ȘI CALCULATOARE

Cuprins

1	INTRODUCERE.....	1
1.1	SCURT ISTORIC AL AUTOMATIZĂRII INDUSTRIEI	1
1.2	CONTEXT GENERAL.....	1
1.3	OBIECTIVE.....	2
1.4	SPECIFICAȚII	3
2	STUDIU BIBLIOGRAFIC.....	4
2.1	CONTROLER LOGIC PROGRAMABIL	4
2.1.1	Arhitectura unui plc	4
2.1.2	Standardul IEC 61131.....	5
2.1.3	Securitatea unui sistem distribuit	5
2.2	ROBOȚI INDUSTRIALI	7
2.2.1	Caracteristici generale	7
2.2.2	Componentele unui robot industrial	8
2.2.3	Programarea unui robot industrial	9
2.2.4	Sistemul de control al unui robot industrial	10
2.3	PROTOCOALE DE COMUNICAȚIE	11
2.3.1	Rețele industriale prin fir	12
2.3.2	Rețele industriale wireless	15
2.4	APLICAȚII ÎNTÂLNITE ÎN INDUSTRIE.....	17
2.4.1	Aplicații de tipul Pick and Place	18
2.5	OPTIMIZAREA APLICAȚIILOR DE TIPUL PICK AND PLACE	18
3	APARATURĂ HARDWARE UTILIZATĂ.....	20
3.1	CONTROLER LOGIC PROGRAMABIL BECKHOFF CX5140-0155	20
3.1.1	Privire de ansamblu asupra arhitecturii.....	20
3.1.2	1-second UPS	21
3.1.3	Mediul de dezvoltare integrat Twincat 3	21
3.2	ROBOT STÄUBLI TS2-80.....	22
3.2.1	Controlerul CS9	22
3.2.2	Brațul robotic TS2-80.....	23
3.2.3	Teach Pendant pentru brațul robotic TS2-80.....	23
3.2.4	Mediul de dezvoltare integrat Stäubli Robotics Suite	24
3.3	TEHNOLOGIA DE COMUNICAȚIE ETHERCAT.....	24
3.3.1	Principiul de funcționare al tehnologiei EtherCAT	25
3.3.2	Ceasuri distribuite	26
3.3.3	Profile de comunicare	26
3.3.4	EtherCAT State Machine	26
4	ANALIZĂ, PROIECTARE, IMPLEMENTARE.....	28
4.1	CREAREA ȘI CONFIGURAREA APLICAȚIEI ÎN TWINCAT 3	28
4.1.1	Organizarea proiectului	34
4.1.2	Logica aplicației dezvoltate	35
4.1.3	Funcția bloc FB_Robot	37
4.1.4	Crearea unei vizualizări în Twincat 3	38
4.1.5	Erori întâlnite în decursul implementării.....	40
4.2	CREAREA ȘI CONFIGURAREA APLICAȚIEI ÎN STÄUBLI ROBOTICS SUITE	40
4.2.1	Comunicația cu plc-ul.....	42
4.2.2	Interfața grafică din cadrul Stäubli Robotics Suite	43

4.2.3	<i>Învățarea pozițiilor robotului prin intermediul pendant-ului</i>	<i>44</i>
4.3	PROBLEMA DE OPTIMIZARE A SECVENȚEI DE MIȘCĂRI A ROBOTULUI.....	46
4.3.1	<i>Optimizarea adaptivă a secvenței de mișcări a robotului.....</i>	<i>50</i>
4.4	TESTAREA ALGORITMULUI IMPLEMENTAT	54
5	CONCLUZII ȘI DIRECȚII DE DEZVOLTARE	56
5.1	CONCLUZII	56
5.2	DIRECȚII DE DEZVOLTARE.....	57
6	BIBLIOGRAFIE.....	58

1 Introducere

1.1 Scurt istoric al automatizării industriei

În ultimele secole industria a continuat să se dezvolte masiv, plecând de la fabrici în care toata munca era realizată de oameni și ajungând, în momentul actual, la fabrici complet automate în care intervenția umană este minimă. La aceste modificări drastice au contribuit, în mare parte, apariția utilajelor ce foloseau apa sau aburul ca și combustibil, iar mai apoi a curentului ca primă sursă de energie. Următorul pas al acestui progres de proporții este reprezentat de internet, ce facilitează comunicarea inteligentă și continuă fără a putea fi întreruptă nici măcar de barierele geografice.

1.2 Context general

În mediul industrial se folosesc roboți pentru manipularea diferitelor componente sau pentru realizarea anumitor operații. Controlul acestor roboți se face prin intermediul unui PLC (engl. *Programmable Logic Controller* - PLC) care, în același timp, ține evidența tuturor parametrilor și comandă întreg procesul, precum în figura 1.1.

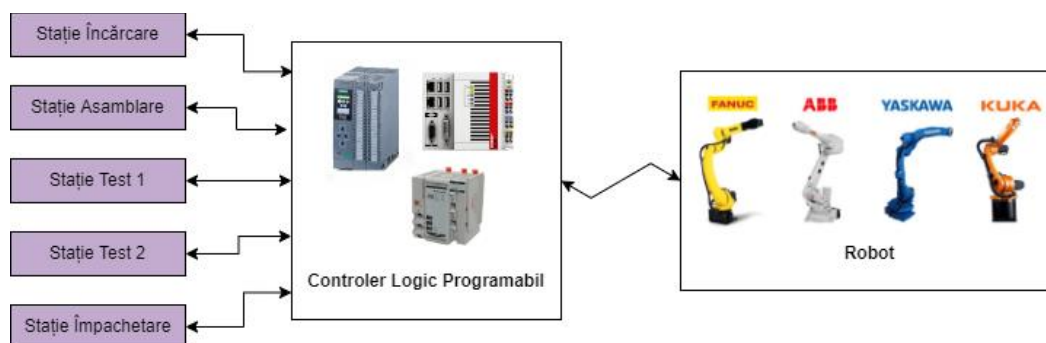


Figura 1.1: Integrarea PLC-ului cu robotul și celelalte stații

PLC-ul interacționează cu robotul pe baza unor ordine (engl. *Job, Order, Task*) pe care le trimite acestuia. Când robotul recepționează aceste ordine, el execută o secvență de program stabilită după care returnează un feedback. Cum întreg procesul este comandat de către un PLC, acesta reține starea fiecărei stații și a fiecărei piese. El trimite un ordin robotului pentru a muta o piesă de la o stație sau punct de prelucrare la o alta, în vederea executării unei noi modificări asupra ei, urmând procesul tehnologic specific. Un exemplu al unui astfel de ordin ar fi "ia piesa din stația de asamblare și plaseaz-o în stația de test 1". În realitate, robotul se află într-o oarecare poziție care, în cele mai multe

dintre cazuri, diferă față de poziția în care a fost trimis deci, prin urmare, între momentul în care robotului i-a fost asignuit *task*-ul și momentul în care robotul execută acel *task*, există un oarecare timp de deplasare sau timp mort în care unele stații stagnează în așteptarea robotului.

În cadrul unui proces, timpul calculat din momentul în care materia primă suferă prima modificare până în momentul în care avem un obiect finalizat sau mai pe scurt, această trecere prin tot procesul, se numește timp de ciclu (engl. *Cycle-time*). Timpul de ciclu este în cea mai mare parte influențat de parametrii prelucrării, de natura obiectului pe care vrem să îl obținem și diferă de la proces la proces. Scurtarea acestui timp de execuție duce la îmbunătățirea producției, ceea ce înseamnă automat creșterea profiturilor companiei. Această îmbunătățire a producției se poate face în două moduri și fiecare are avantajele și dezavantajele ei.

Prima îmbunătățire, cea mai simplă, dar nu și cea mai logică ar fi, bineînțeles, achiziționarea unor unelte mai rapide și mai performante (*hardware*). A doua îmbunătățire se aplică atunci când resursele *hardware* sunt limitate. De cele mai multe ori fiind și cea mai potrivită, ea constă în perfecționarea aparaturii deja disponibile (*software*).

1.3 Objective

În vederea exemplificării unei astfel de îmbunătățiri de natură *software*, scopul principal al acestei lucrări este de a crea un proces simulat și de a găsi o metodă de optimizare care să scadă timpul de ciclu pe cât de mult posibil prin minimizarea sau chiar eliminarea timpului necesar mișcării între două puncte diferite în spațiu a robotului. În același timp, soluția trebuie să fie adaptabilă pe orice tip de proces controlat de un *PLC Beckhoff* în care acțiunea de tipul pick and place este realizată de un robot *Stäubli* cu 4 axe.

Pentru îndeplinirea acestui scop următoarele obiective au fost alese:

- alegerea unui proces care poate fi simulat și care implică mai multe acțiuni asupra aceleiași componente, dar nu simultan;
- conceperea unei aplicații pentru *PLC Beckhoff CX5140-0155* folosind mediul de programare *Twincat 3* împreună cu *Visual Studio* care să reprezinte în detaliu și să simuleze stațiile necesare unei viitoare optimizări ai timpului de ciclu, dar și mișcările robotului;
- dezvoltarea unei aplicații pentru un robot *Stäubli TS2-80 SCARA* cu 4 axe folosind mediul de programare *Stäubli Robotics Suite* care să faciliteze integrarea robotului în procesul respectiv;
- crearea unei comunicații între *PLC Beckhoff CX5140-0155* și robotul *Stäubli TS2-80* folosind o tehnologie de comunicare de tip *EtherCAT*;

- integrarea robotului in mediul de programare *Twincat 3*, alături de stațiile simulate și crearea logicii folosite pentru coordonarea procesului;
- analizarea comportamentului procesului și colectarea datelor de trebuință pentru implementarea optimizării timpilor de ciclu;
- întocmirea unui algoritm de optimizare care să îmbunătățească timpii de execuție și să mărească nivelul producției;
- colectarea datelor după ce algoritmul de optimizare a fost aplicat, analizarea rezultatelor și revizuirea acestuia în cazul în care rezultatele sunt nule;

Un al doilea scop al acestui proiect este de a ușura munca necesară unei viitoare implementări și testări sau a unei îmbunătățiri a acestei idei, această aplicație putând servi ca model.

1.4 Specificații

Primul pas spre atingerea scopului ales este setarea unor reguli stricte în ceea ce privește construirea și dezvoltarea aplicațiilor. Ideea de bază de la care se pleacă este că procesul trebuie să aibă timpi morți, mai precis, timpi în care robotul nu are nimic de făcut, pentru ca aceștia să fie eliminați în urma optimizării. O a doua cerință este simplitatea. Deoarece dorim ca aplicația să poată fi folosită ca model în vederea următoarelor implementări, aceasta trebuie să fie cât se poate de compactă și bine organizată. Adăugarea stațiilor trebuie să se facă rapid, scoaterea lor la fel, iar orice modificare trebuie să se poată face ușor.

Limbajul de programare trebuie ales cu grijă pentru a respecta toate cerințele de mai sus. Pentru că într-un astfel de domeniu, al fabricației, fiecare milisecundă contează, structurile de date cu care lucrăm trebuie să fie cât mai necomplicate.

În ceea ce privește partea de optimizare, metodele alese și algoritmi folosiți trebuie să aibă un timp mic de execuție și să nu fie consumatori mari de memorie, deoarece timpul disponibil pentru astfel de calcule este unul minim.

Întrucât comunicarea între *PLC*, robot și celelalte stații din proces se face permanent în timpul producției, se recomandă ca datele schimbate să fie cât mai primitive.

Datorită faptului că stațiile sunt simulate, pentru o mai bună înțelegere a proiectului, se recomandă crearea unei interfețe vizuale în care se pot observa stările fiecărei stații.

Pentru manevrabilitate, dar și pentru a facilita analiza și testarea rezultatelor este lesne înțeles faptul că va fi nevoie de o interfață de control care să permită pornirea, oprirea și eventual resetarea poziției robotului. În același timp, programul care comandă și monitorizează mișcarea, dar și logica din spatele acesteia trebuie să fie simple.

2 Studiu bibliografic

2.1 Controler Logic Programabil

Un controler logic programabil (engl. *Programmable Logic Controller - PLC*) este o formă specială de controler bazat pe un microprocesor care stochează instrucțiuni și le aplică ulterior implementând funcții logice, aritmetice, etc. în ideea de a controla alte dispozitive.

În industrie, *PLC*-ul este unitatea de bază în ceea ce privește controlul. Rapiditatea și precizia cu care efectuează calculele, ușurința de integrare și configurare, costul mic și varietatea modelelor fac ca el să fie numit la nivel global “cal de lucru” (engl. *Work horse*) [1]. Principalele avantaje ale unui astfel de dispozitiv sunt rezistența în condiții extreme și încorporarea comodă a acestuia împreună cu alte elemente necesare controlului, cum ar fi senzori și actuatori. Există o gamă largă de astfel de produse faimoase printre care cele mai cunoscute ar fi: *Rockwell Automation, Siemens, Omron, Bekhoff, Mitsubishi Electric, Schneider Electric* etc.

2.1.1 Arhitectura unui *plc*

Elementele consolidate ale unui *PLC*, pe baza figurii 2.1 sunt după cum urmează:

- unitatea centrală de control (engl. *Central Processing Unit - CPU*) care are rolul de a prelua datele venite de la intrări, de a le interpreta în funcție de regulile care au fost programate în memorie și mai apoi de a transmite deciziile luate ieșirilor;
- memoria care are rolul de a stoca programul scris ce conține regulile de control venit de la o sursă externă, cum ar fi un computer, dar și datele venite de la intrări și datele modificate pentru ieșiri;
- modulul de intrare care colectează datele de la elemente externe și le trimite mai apoi la memorie. Aceste date sunt de forma a unor semnale care pot fi discrete, analogice și digitale. Un exemplu de semnal discret este întrerupătorul care poate fi doar închis sau deschis. Semnalele digitale reprezintă o serie de semnale discrete, iar semnalele analogice sunt direct proporționale cu variabila pe care o măsoară;
- modulul de ieșire preia semnalele discutate mai sus și le transmite mai departe către actuatori. Un exemplu ar putea fi un motor a cărui turație este controlată cu ajutorul unui semnal analogic provenit de la *PLC* în urma unor calcule;

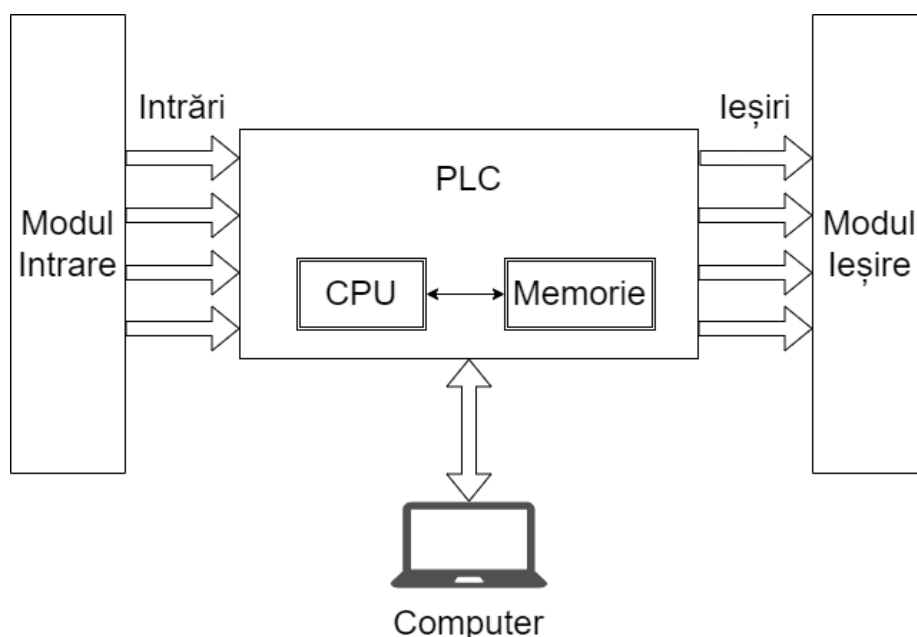


Figura 2.1: Arhitectura unui plc

- computerul sau dispozitivul de programare este folosit pentru a scrie programul ce urmează a fi încărcat în memoria PLC-ului. În practică se folosesc o multitudine de limbaje de programare printre cele mai folosite fiind textul structurat (engl. *Structured Text* - ST), lista de instrucțiuni (engl. *Instruction List* - IL) și diagrama scară (engl. *Ladder Diagram* - LD) [2];

2.1.2 Standardul IEC 61131

De-a lungul anilor multe standarde au fost propuse în ceea ce privește programarea PLC-urilor. Deși fiecare companie dezvoltatoare de PLC-uri are propriul ei mediu de programare și propriile metode de configurare a dispozitivului, prin folosirea acestui standard, care poate fi sau nu acceptat de către o companie, tot procesul necesar creării unei aplicații este șablonizat din momentul gândirii acesteia până la rezultatul final. Odată cu adaptarea la acest standard, munca inginerilor devine mult mai simplă, ei putând să se focalizeze mai mult pe crearea tehnicilor și algoritmilor de control și mai puțin pe partea de implementare a acestora. Totodată, eforturile companiilor în instruirea angajaților devin minime, partea de depanare, mentenanță și consultare se face mai intuitiv, iar erorile sunt din ce în ce mai ușor de depistat. În același timp trebuie înțeles faptul că adoptarea acestui standard nu este obligatoriu să fie făcută în totalitate deoarece acest lucru ar duce la imposibilitatea devansării dezvoltatorilor între ei. Un echilibru trebuie găsit în ceea ce privește acest aspect [3].

2.1.3 Securitatea unui sistem distribuit

În trecut, sistemele industriale de control erau conectate la o rețea locală, izolată, ele neavând interacțiuni cu internetul vast. Datorită prosperului acestei industrii și necesității de a controla mai multe procese deodată aflate la distanțe geografice considerabile, aceste sisteme au fost conectate la internet sau intranet. Odată cu aceste racordări, noi posibilități de penetrare a acestora au fost posibile.

Sistemele de control au fost concepute pentru a lua decizii în situații critice într-un timp scurt, pentru a fi preemptive și nicidecum pentru a fi capabile să respingă sau să evite atacuri cibernetice. Majoritatea lor sunt formate din mai multe componente printre care se găsesc PLC-uri, interfețe om-mășină(engl. *Human Machine Interfaces* - *HMI*), unități terminale principale (engl. *Master Terminal Units* - *MTU*), unități terminale la distanță (engl. *Remote Terminal Units* - *RTU*). Toate acestea pot fi o țintă deoarece toate sunt conectate în rețea. În același timp, protocoalele de comunicare dintre ele, care la fel au fost gândite pentru viteză și rate mari de transfer, pot facilita accesul atacatorilor. Pentru a înțelege mai bine, în figura 2.2 este descrisă arhitectura unui astfel de sistem [4].

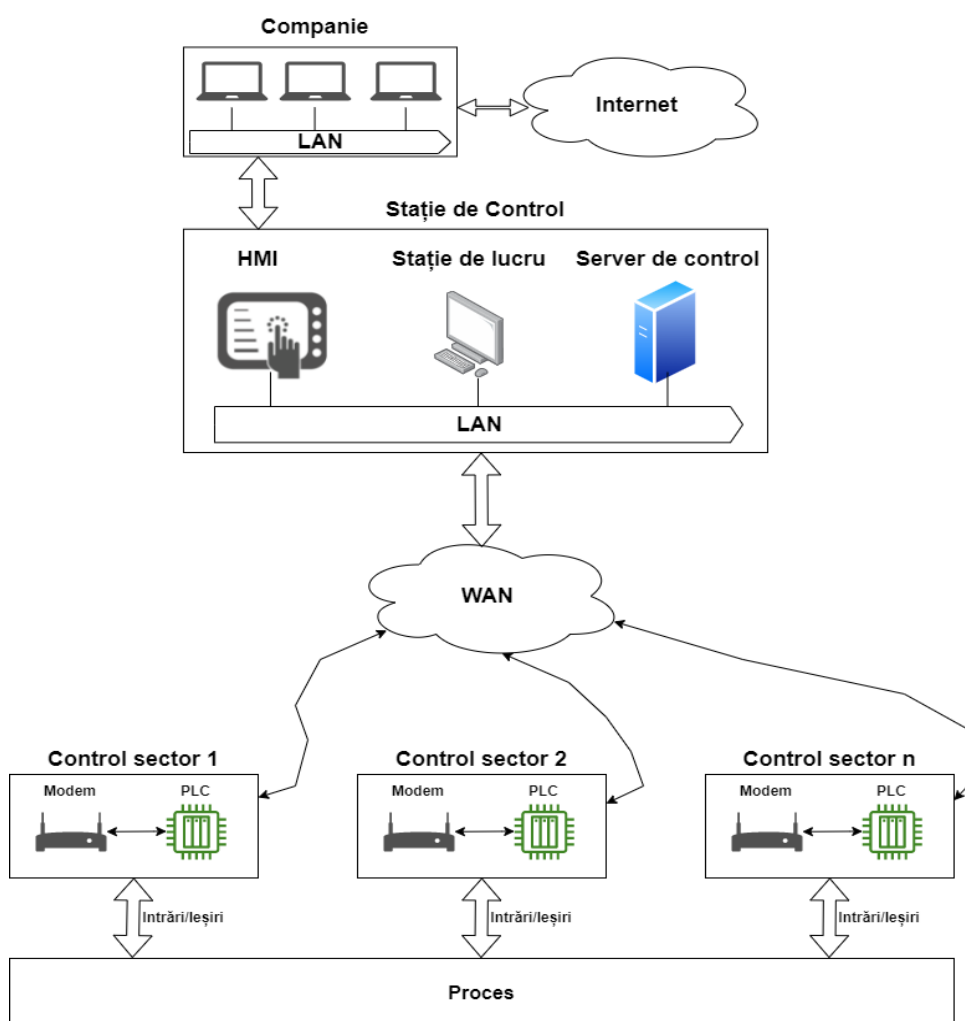


Figura 2.2: Prezentarea generală a unui sistem de control distribuit

În lucrarea [5] este prezentat și analizat un astfel de atac asupra unei rețele de energie electrice din Ucraina în care un utilizator terț a pătruns în sistemele SCADA(Supervisory Control and Data Acquisition) și a oprit aprovizionarea cu energie electrică a aproximativ 80.000 de clienți, dezactivând șapte substații generatoare de electricitate. Părți suplimentare ale rețelei au fost afectate și operatorii au fost forțați să treacă în modul manual. Acest lucru a fost posibil datorită unui e-mail ce conținea un atașament prin care atacatorii au reușit să fure credențiale prin care au obținut controlul de la distanță asupra stăției de lucru și a HMI-ului și au oprit toate substațiile, au blocat

accesul operatorilor la întreg sistemul și au supraîncărcat rețeaua de telefonie mobilă pentru a limita transmiterea de informații în interiorul companiei.

În vederea protejării unor astfel de sisteme și a evitării unor astfel de atacuri, antivirusii pot fi folosiți ca măsură de prevenție. Totuși ei nu pot ține mereu pasul cu avansul rapid al *software*-ului rău intenționat și pentru asta, se recomandă supravegherea continuă a rețelei și raportarea imediată a neregularităților către experți [6].

2.2 Roboți industriali

Această categorie de roboți este una bine cunoscută pe piață și în același timp foarte diversificată. În ultimele decenii, roboții cu schimbat cu totul fața industriilor. Aceștia au fost preferați în locul oamenilor pentru muncile repetitive, dar și pentru cele nocive. În zilele noastre există roboți pentru orice fel de sarcină, de la operații de tăiere, sudare, vopsire la transport, inspecție și mutare. Sunt folosiți în toate industriile printre care cea farmaceutică, de fabricare dar și în domeniul medical.

Principalele avantaje când vine vorba de astfel de roboți este munca continuă, fără întrerupere, ușurința programării și întreținerea minimă.

2.2.1 Caracteristici generale

Un prim aspect general atunci când vine vorba de roboți industriali este gradul de manevrabilitate al acestuia. Este important ca robotul să poată servi mai multor scopuri dacă este nevoie și să nu fie limitat în îndeplinirea unei singure sarcini (engl. *Task*). Prin urmare se definesc mai multe tipuri de roboți în funcție de mișcarea pe care o pot realiza:

- braț robotic articulată care poate fi definit de 3 până la 10 articulații de rotație și oferă manevrabilitate totală în întreg planul tridimensional. Acești roboți sunt folosiți pentru operații de asamblare, împachetare, vopsire, sudare, unde spațiul de obicei este unul limitat și punctele de lucru sunt specifice și/sau greu accesibile;
- braț robotic paralel ce constă în mai multe lanțuri atașate unei baze fixe și una mobilă, folosiți în special în sarcinile unde precizia și viteza sunt absolut necesare. Acestea sunt atinse deoarece, spre deosebire de roboții seriali, greutatea actuatorilor nu influențează aproape deloc mișcarea. Un exemplu îl reprezintă brațul robotic Delta ce este format din 3 lanțuri cinematice simetrice;
- braț robotic cilindric *SCARA* (*Selective Compliance Articulated Robot Arm*) folosit în special pentru sarcinile de selectare, ridicare și plasare (engl. *Pick and Place*) și asamblare. Are o precizie ridicată, fapt pentru care este utilizat preponderent în procesele de fabricație ale circuitelor imprimate (engl. *Printed Circuit Board – PCB*);
- braț robotic macara cu toate articulațiile liniare, folosit în special în sarcinile de paletare unde sarcina este grea;

2.2.2 Componentele unui robot industrial

Principalele componente ale unui robot industrial sunt: brațul robotic, senzorii, efectorul final, controlerul și elementele de execuție. Toate acestea împreună cu o strategie bună de control au revoluționat procesele de fabricație din întreaga lume.

Ne putem gândi la brațul robotic ca la un braț uman format dintr-o bază(engl. *Base*), un umăr(engl. *Shoulder*), un cot(engl. *Elbow*) și o încheietură(engl. *Wrist*). Senzorii sunt dispozitive care detectează anumite modificări și declanșează anumite răspunsuri la acestea. Importanța acestora atunci când vine vorba de roboți este dată de noțiunile de siguranță, pentru a evita coliziunile cu mediul înconjurător, de precizie, pentru a respecta în exactitate cerințele impuse, dar și de măsurare, pentru eventualele analizări de comportament. Câteva tipuri de senzori folosiți în producerea unui robot, în funcție de scopul și mediul pentru care este dezvoltat sunt: senzori de atingere și forță, de temperatură, de sunet, senzori chimici și de lumină, iar cei mai importanți, de poziție(potențiomtru sau encoder).

Alături de un robot industrial puternic stă un controler și mai puternic responsabil cu tot ce ține de partea de gândire. Acesta este de fapt un computer specializat legat de robot cu capabilități foarte bune în luarea de decizii și cu o capacitate foarte mare de memorie. Este responsabil pentru activarea elementelor de execuție, pentru efectuarea de calcule complicate atunci când vine vorba de traiectorii și viteze, dar și pentru controlul întregului robot, de la preluarea datelor de la senzori, interpretarea lor, luarea de decizii și transmiterea acestora mai departe în sistem. În același timp el memorează codul care descrie mișcarea robotului, venit din surse externe, îl transformă în parametrii pe care mai apoi îi trimite la motoare.

Elementele de execuție sunt responsabile cu mișcarea robotului. În funcție de tipul de mișcare pe care îl execută, dar și de procesul asupra căruia este supus, ele pot fi electrice, pneumatice și hidraulice.

- actuatorii electrici sunt motoare ce convertesc energie electrică în mișcare de translație sau de rotație. Câteva tipuri de motoare sunt motoarele în curent continuu, servo-motoarele, motorul pas cu pas, motorul *BLDC*. Principalele avantaje ale acestora sunt precizia ridicată, feedback-ul instant necesar controlului și mentenanței, programarea ușoară, sunetul redus și relația bună cu mediul înconjurător. Totuși există și multe dezavantaje printre care supraîncălzirea și lipsa manevrabilității. Având parametrii fixi, un motor nu poate fi modificat decât dacă este înlocuit. În același timp, acest tip de actuatori nu poate fi folosit în orice mediu;
- un al doilea tip de actuatori sunt cei hidraulici, folosiți în special atunci când sarcina de lucru este una mare. În comparație cu cei electrici, aceștia pot produce forțe foarte mari capabile să ridice greutăți pe măsură. Sunt utilizați acolo unde precizia, viteza mare și stabilitatea sunt necesare. Avantajele acestora sunt ușurința cu care se controlează, sunetul redus, simplitatea și acuratețea, iar dezavantajele le reprezintă prețul ridicat, mentenanța atentă, iar dacă ceva se defectează, scurgerile de lichid pot cauza daune mediului;

- elementele de execuție pneumatice sunt folosite când igiena este mai importantă decât precizia. Fiind foarte gălăgioase, sunt printre cele mai rar întâlnite;

În funcție de sarcina care îi este atribuită, robotului industrial i se pot atașa o multitudine de efectori finali. Aceștia pot varia de la un simplu sistem de prindere controlat electric până la mecanisme complexe de inspecție, diferite aparate pentru sudare, lipire, vopsire etc sau chiar senzori pentru detectarea anumitor suprafețe și sunt independenți de robot. Totodată, fără astfel de efectori, în cele mai multe dintre cazuri, robotul devine inutil.

2.2.3 Programarea unui robot industrial

Principalul mod prin care un robot industrial poate fi programat este prin intermediul unui pendant de învățare(engl.*Teach Pendant*). În domeniu, programarea robotului folosind această metodă poartă numele de “*teaching*”. Pendantul reprezintă calea sau mai bine spus legătura între operator și memoria robotului. Prin intermediul lui, robotul poate fi mișcat manual și poate învăța puncte fixe. Metoda este destul de intuitivă, deoarece interfețele pendantelor au devenit foarte ușor de înțeles. În figura 2.3 este reprezentat un astfel de pendant. Există o varietate mare de astfel de dispozitive în funcție de producător și în majoritatea dintre cazuri, ele vin atașate de robot.



Figura 2.3: Teach Pendants

Avantajele găsite la acest punct stau în siguranță, precizie și intuiție. Deoarece robotul nu poate fi mișcat decât pas cu pas, rata de coliziune este minimizată, iar mișcarea poate fi întreruptă instant prin folosirea butonului de stop. Precizia este asigurată de faptul că punctele și mișcările sunt trecute direct în memoria robotului, iar intuiția constă în ușurința folosirii aparatului. Programarea, însă, poate deveni destul de anevoioasă atunci când este nevoie de secvențe de mișcări complexe, iar în unele cazuri, programele complicate nu pot fi scrise decât prin intermediul altor metode. În același timp, *pendant*-ul poate fi foarte folositor pentru înțelegerea modului de funcționare al unui robot, dar și pentru exersarea anumitor poziții și mișcări.

Un alt mod prin care un astfel de robot poate fi programat este prin îndrumarea acestuia. Metoda constă în mișcarea manuală a brațului în modul în care vrem să se efectueze deplasarea și prin punctele prin care acesta dorim să treacă. Tot acest proces este înregistrat în memoria robotului și reparcurs la fiecare ciclu. Spre exemplu, un operator poate mișca brațul robotic prin diferite puncte, pe o anumită traiectorie pentru a monta o componentă. În momentul pornirii automate, robotul reparcure traseul memorat de câte ori este lăsat. Principalul avantaj al acestui mod de programare este intuitivitatea, deoarece robotul este ghidat fizic exact pe traseul pe care dorim să-l parcurgă. Nu există nicio problemă de siguranță atât în ceea ce privește programatorul sau operatorul, cât și în ceea ce privește coliziunea robotului cu alte obiecte, ea fiind imposibilă. Acest tip de programare este preferat atunci când robotul și oamenii colaborează în îndeplinirea unui scop, iar suprafața de lucru este comună.

Un al treilea mod de programare este programarea *offline*. Ea constă într-un alt dispozitiv precum un laptop și într-un mediu de dezvoltare integrat (*IDE*) în care se scriu instrucțiuni. După ce programul a fost creat, el este testat pe un model virtual, de obicei 3D, pentru a se vedea eficiența și corectitudinea lui. Dacă standardele au fost îndeplinite, el este încărcat mai apoi în memoria robotului, de unde poate fi accesat și utilizat în mod real. Avantajele unei astfel de metode stă în complexitatea aplicațiilor care pot fi dezvoltate folosind un limbaj de programare corespunzător, dar și în optimizarea și eficiența operațiilor. Totodată, acest mod de programare poate fi făcut doar de personal calificat care înțelege pe deplin specificațiile tehnice și cele *low-level* în ceea ce privește roboții.

Cu timpul, datorită nevoii de independabilitate, alte metode au luat naștere precum programarea prin pictograme făcută prin cu drag and drop prin intermediul unei interfețe de utilizator. Prin acest tip, toate erorile de sintaxă sunt evitate. Programarea se face ușor și intuitiv, dar din nou, complexitatea este mică. Programarea prin intermediul diagramelor de flow este destul de răspândită și poate fi observată mai ales în mediul de lucru LabView unde utilizatorii pot lega și configura blocuri funcționale care descriu mișcări fizice. Cel mai intuitiv mod de programare existent pe piață în acest moment, este însă programarea prin fișiere CAD. Au fost dezvoltate o multitudine de software-uri în care nu doar că putem crea și simula în același timp mișcările robotului, ci putem crea întreg procesul. Un astfel de exemplu este Factory IO care, în același timp, poate fi considerat un joc, în care procesele sunt simulate. Majoritatea programelor de acest gen au o proprietate prin care, în funcție de aplicația făcută, poate fi generat cod automat gata pentru implementat în realitate [7].

2.2.4 Sistemul de control al unui robot industrial

În figura 2.4 este descris modul de control al unui robot industrial. Prin intermediul pendantului, acesta primește de la operatori comenzi pe care mai apoi le trimite la interfața de mișcare. Acestea sunt procesate și transmite la rândul lor mai departe către efectori.

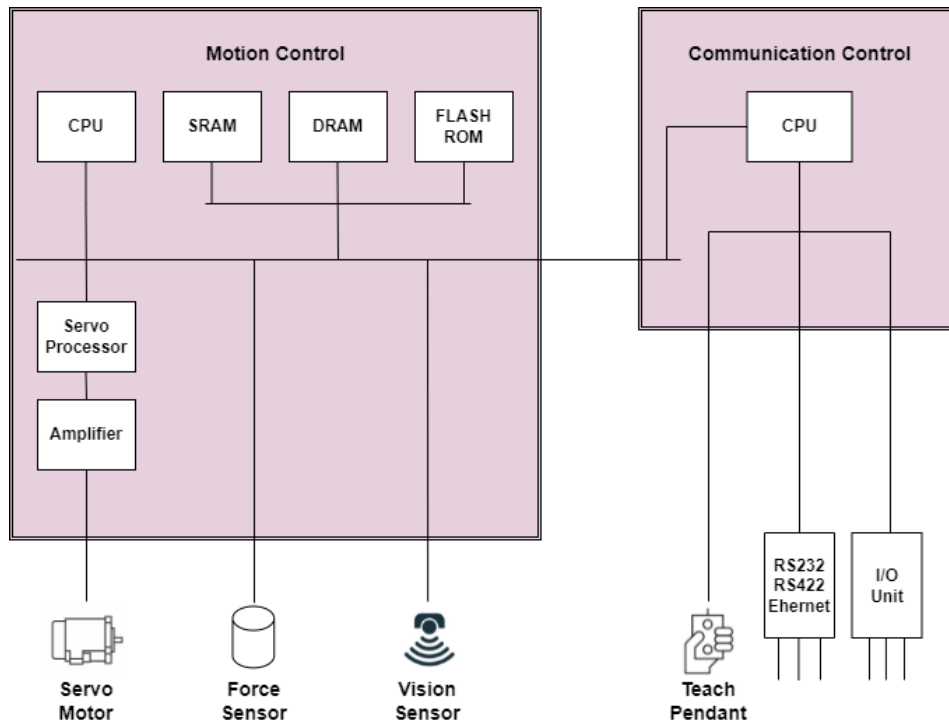


Figura 2.4: Sistemul de control al unui robot industrial

2.3 Protocoale de comunicație

Datorită nevoii mari de a crește viteza și de a mări producția în mai toate domeniile, comunicațiile au avut și ele parte de schimbări. S-au completat sau chiar înlocuit complet sistemele proprii de comunicare din sistemele SCADA cu sisteme *Fieldbus*. În zilele noastre, comunicația prin fir de tip *Fieldbus* este standardizată și folosită în majoritatea sistemelor de control, favorizând schimbul de date dintre senzori, intermediari și actuatori [8].

Pentru a înțelege mai bine de ce metodele de comunicație sunt importante, mai jos sunt descrise cele mai mari cerințe în domeniul industrial:

Comportamentul în timp real

Sistemele de timp real se bazează într-o proporție foarte mare pe timpul de ciclu a pachetelor de date. Prin urmare, pe baza acestui timp, pot fi definite patru clase ce definesc timpul real:

- *Soft Real-Time*, unde timpul de ciclu este variabil, iar nerespectarea termenelor limită nu duce la probleme severe;
- *Hard Real-Time*, unde timpul de ciclu variază doar în intervalul 1-10 ms, folosit în sistemele de control;
- *Isochronous Real-Time*, unde timpul de ciclu variază între 250 μ s și 1 ms, iar *jitter*-ul este mai puțin de 1 μ s;
- *Non Real-Time*, unde timpul nu contează, folosit pentru schimbul de date în vederea analizării sau observării lor;

Siguranța funcțională

Protecția împotriva defecțiunilor sau a funcționării incorecte la nivelul rețelei împiedică schimbul eronat de date sau chiar întreruperea acestuia.

Securitatea

Datorită evoluției masive a internetului, protecția datelor a devenit un principal factor de luat în considerare atunci când o rețea este configurată [9]. Majoritatea sistemelor de comunicații industriale se bazează pe sisteme de operare comerciale despre care este binecunoscut faptul că au vulnerabilități. Pentru a diminua rata de succes a atacurilor, mai multe obiective au fost definite:

- Confidențialitatea: împiedicarea scurgerilor de date către persoane neautorizate. Aici pot intra date referitoare la performanțele sistemelor, planuri de dezvoltare, parole etc.
- Integritatea: prevenirea persoanelor neautorizate în schimbarea parametrilor proceselor, valori de senzori etc.
- Valabilitatea: împiedicarea persoanelor neautorizate în a bloca accesul utilizatorilor. Pe lângă problemele economice ce pot apărea, stoparea operatorilor din a avea acces la datele și controlul sistemelor poate duce la probleme de siguranță;
- Autentificarea: este responsabil cu validarea identității utilizatorilor;
- Autorizarea: se ocupă cu restricționarea accesului utilizatorilor asupra anumitor părți din sistem. Nerespectarea acestuia poate duce la probleme de siguranță;

2.3.1 Rețele industriale prin fir

Pentru a garanta permisiunea asupra datelor din diferitele părți ale unui proces industrial, a trebuit să se creeze o legătură fizică între diferitele straturi ale acestuia. De la conectarea utilizatorilor între ei până la facilitarea accesului asupra întregului sistem, incluzând aici senzori, elemente de execuție etc.

Atunci când vine vorba de o rețea de comunicare, există o serie de performanțe ce trebuie luate în considerare, în funcție de tipul și rolul acesteia și anume: dimensiunea rețelei, numărul de dispozitive care pot fi conectate, lățimea de bandă, timpul de răspuns, perioada de eșantionare, dar și sarcina ce trebuie transferată. Pentru a înțelege mai bine legătura dintre componentele unui proces industrial, în figura 2.5 este exemplificată arhitectura unei astfel de rețele.

2.3.1.1 Rețeaua Senzor-Actuator

Principalele protocoale găsite la acest nivel sunt **HART**(*Highway Addressable Remote Transducer*) ce transpune un semnal digital peste semnalul analogic 4-20 mA, având o viteză de 1200 bps și **ASi**(*Actuator Sensor Interface*) ce reprezintă o conexiune între actuatori și senzori prin două fire. El constă într-un master căruia îi pot fi atribuiți până la 31 dispozitive de tip slave cu o rată de scanare de 5-10 ms/IO.

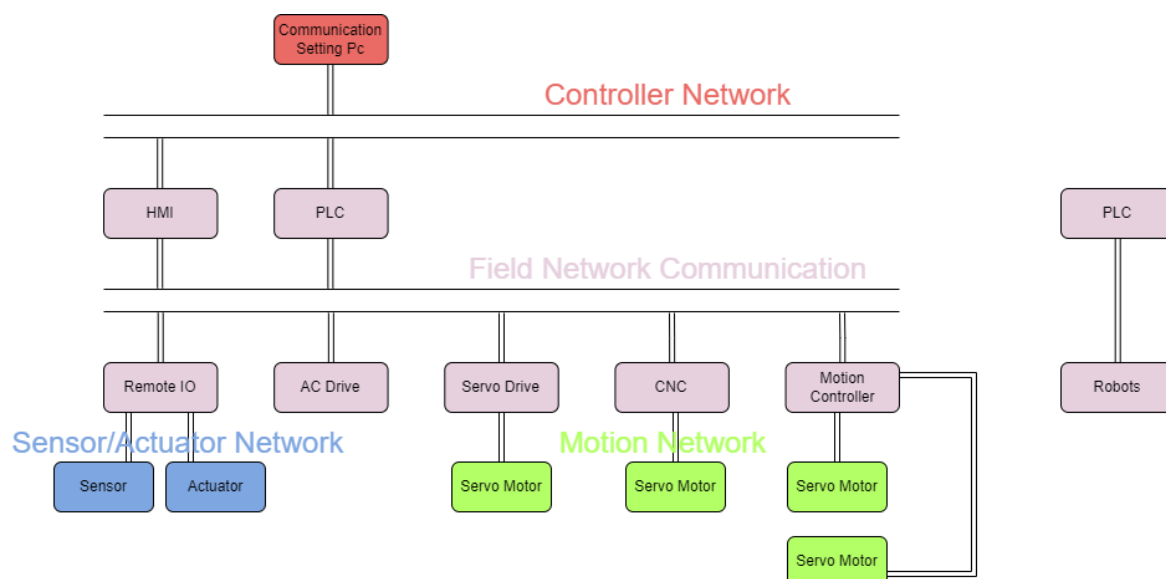


Figura 2.5: Arhitectura unei rețele industriale

2.3.1.2 Rețeaua Fieldbus

Există o multitudine de concepte care se întâlnesc la acest nivel, fapt datorat existenței pe piață a mai multor producători. Principalele protocoale sunt:

Profibus: Se găsește în mai toate industriile și suportă nenumărate configurații. Principalul avantaj al acestui protocol este ușurința folosirii și flexibilitatea. Necesită puțin *hardware* și cablaj, iar mentenanța se face rapid. Deoarece dispozitivele de tip *slave* sunt pasive, adică lucrează doar în momentul solicitării de către master, consumul de energie se minimizează. Permite diferite rate de transfer 9.6/19.2/45.45/93.75/187.5/500/1500/3000/6000/12000 kbps. Există două tipuri de *master*, primul reprezentând un controler central ce schimbă informații la un interval de timp definit cu toate dispozitivele de tip *slave*, iar al doilea având ca scop monitorizarea, mentenanța sau diagnosticarea rețelei. Se împarte în două categorii, în funcție de locul unde se folosește: *Profibus DP (Decentralized Peripherals)* reprezintă varianta ce atinge vitezele maxime descrise mai sus, utilizat în automatizarea fabricilor și *Profibus PA (Process Automation)* care are o viteză de 31.25 kbps și este utilizat în automatizarea proceselor. Deși există această împărțire, comunicația *Profibus* este *half-duplex*, ceea ce înseamnă că un singur dispozitiv comunică la un moment de timp. Ca și topologii, putem întâlni configurații de tip stea, inel sau serie.

DeviceNet: Este un protocol care are ca scop principal conectarea controlerelor industriale cu dispozitivele de intrare/ieșire, dar și între ele. Favorizează dispozitivele care nu necesită multă energie electrică să poată fi activate direct prin intermediul cablului de rețea. Folosește o topologie de tip magistrală, unde fiecare nod este reprezentat de către un dispozitiv. Datorită acestei configurații, defectarea unui nod nu afectează deloc celelalte noduri. Suportă până la 64 de noduri formate dintr-un singur master și 63 *slave* în același timp pe o singură rețea, cu o rată de transfer de 125/250/500 kbps;

ProfiNET: Spre deosebire de *Profibus* care este un protocol de tip *half-duplex*, *ProfiNET* este *full-duplex*, ceea ce înseamnă că comunicația se face în ambele sensuri în

același moment de timp. În același timp, timpul de ciclu poate fi ajustat pentru fiecare dispozitiv în parte în funcție de necesități. Viteza la care ajunge poate atinge 100 Mbps cu ușurință sau chiar 1 Gbps și mai mult. Fiind un protocol bazat pe *Ethernet*, configurația se face foarte ușor, singurele condiții fiind ca *switch*-urile să poată țină pasul cu viteza acestuia și să fie *full-duplex*. Principalele topologii sunt linie, arbore, stea, inel. *ProfiNET* acceptă și dispozitive conectate prin *wireless* sau *bluetooth*, unde confidențialitatea mesajelor este asigurată de *PROFIsafe* care nu este decât un strat de siguranță aplicat peste protocolul principal.

CAN: Este folosit pentru în special pentru transportul mic de date, dar foarte rapid care satisface cerințele de timp real. Poate atinge viteze de 1 mbps și este folosit preponderent în mașini, avioane etc. Este o tehnologie *half-duplex* cu mult superioară lui *RS232* și mult mai ieftină. Deși un protocol precum *TCP/IP* poate atinge viteze de sute de mbps, *CAN* se descurcă mult mai bine pe distanțe scurte, cu date de dimensiuni mici. Deasupra acestui strat a apărut tehnologia *CANopen* folosită în industriile medicale, de căi ferate, în agricultură, marină etc și nu este decât un set de reguli de limbaj pentru datele transmise pe căile *CAN* [8].

Tabelul 1 conține o comparație între cele descrise mai sus.

Tabel 1: Comparație protocoale de comunicație prin fir

Protocol	Mediu	Link	Rețea	Transport	Viteză	Nr. Noduri
Ethernet/Ip	Ethernet	Ethernet	IP	TCP/UDP	10/100/1000 mbps	
PROFIBUS	RS-485, fibră optică	PROFIBUS Fieldbus			31.25-12000 mbps	32 normal sau 126 prin fibră optică
DeviceNet	CANbus	CAN bus	DeviceNet	DeviceNet	1 mbps	64
PROFINET	Ethernet	Ethernet	IP	TCP/UDP	10/100/1000 mbps	
HART	Fire de cupru	Conexiune electrică		Segmentare automată a datelor		
Modbus TCP/IP	Ethernet	Ethernet	IP	TCP port 502	10/100/1000 mbps	254
EtherCAT	Ethernet	Ethernet + Ethercat	IP+timing	TCP/UDP	10/100/1000 mbps	65535

2.3.1.3 Rețeaua Controller

Protocoalele de la acest nivel sunt de calitate înaltă și se pot distinge în funcție de clasele de timp real. Pentru clasa *soft real-time*, majoritatea se bazează pe *TCP(UDP)/IP* și diferă în funcție de producător: *MODBUS TCP/IP (Schneider)*, *Ethernet/IP (Rockwell)*, *High Speed Ethernet-HSE (Fieldbus Foundation)*, *P-Net/Ip*, *Profibus (Siemens)* etc. În clasa a doua, *hard real-time*, găsim *PROFINET DP*, *Time-Critical Control Networ(Tcnet*,

Toshiba), iar în a treia clasă, *isochronous real-time Powerlink* care a fost dezvoltat pentru control de mișcare, *EtherCAT(Beckhoff)*, *Profinet IO*, *Sercos III*.

2.3.2 Rețele industriale *wireless*

Rețelele industriale *wireless* se află într-un proces de adaptare și de adoptare din ce în ce mai mare datorită ușurinței de folosire, dar mai ales datorită evoluției industriei la *Industry 4.0*. Spre deosebire de rețelele prin fir, acestea, nu necesită o configurație foarte promptă, o întreținere adecvată, majoritatea costurilor de cabluri și arhitecturi dispar, iar consumul de energie devine substanțial mai mic. În acest context, au fost dezvoltate rețele de sensori fără fir(engl. *Wireless Sensor Network-WSN*) [10].

Rețeaua *WSN* a devenit un subiect de interes pentru mai multe domenii printre care agricultura, cel militar, sau medical etc. Într-o rețea *WSN*, există mai multe noduri și fiecare are o funcție specifică de citire fie de parametri de la sensori de umiditate, temperatură, presiune, fie de performanțele procesului în general. Deasupra acestui strat s-a dezvoltat rețeaua industrială de senzori fără fir(engl. *Industrial Wireless Sensor Network-IWSN*). Aceasta a moștenit multe aspecte de la rețeaua precedentă printre care cele mai importante fiind protocoalele de comunicație. Principalele diferențe între *WSN* și *IWSN* sunt următoarele:

Latența: Datorită timpului rapid de răspuns care este necesar într-un astfel de domeniu, latența trebuie să fie mică înspre inexistentă. Deoarece aceste rețele sunt responsabile cu monitorizarea parametrilor unui proces și comanda lor în timp real, propagarea de informații trebuie să fie cât mai rapidă. Acest beneficiu vine, însă, și cu un dezavantaj. Dispozitivele care se bazează pe acest tip de comunicație sunt bazate pe baterii și se plasează, de obicei, în locuri greu accesibile. Prin urmare, viața bateriilor trebuie să fie cât mai lungă, ceea ce duce la o latență ridicată.

Mobilitate: Pentru a spori flexibilitatea și mobilitatea, această rețea poate dispune de noduri mobile precum roboți mobili sau vehicule automate. Acest aspect este în contrast cu rețeaua *WSN*, unde nodurile sunt fixe.

Mediul: Un alt aspect foarte important în ceea ce privește diferențele dintre *IWSN* și *WSN* este mediul în care sunt folosite. Spre deosebire de *WSN*, unde mediul este unul prietenos, rețeaua *IWSN* este întâlnită în medii ostile cu vibrații și temperaturi foarte mari, cu mult praf și umiditate crescută. Prin urmare, aceste tipuri de mediu pot afecta într-o măsură ridicată, care poate duce la ulterioare erori, semnalele transmise. Pentru a asigura siguranța împotriva interferențelor, strategii care să asigure integritatea datelor trebuie aplicate.

Capacitatea: În domeniul industrial, fiecare dispozitiv emite și recepționează o cantitate mare și continuă de date. Rețeaua care facilitează acest transport, trebuie să atingă cerințele necesare. Nodurile comunică nu doar cu vecinii, dar și cu alte dispozitive conectate pentru atingerea scopurilor în general și pentru a rezolva probleme complexe precum procesarea de date. Prin urmare, nodurile din rețelele *IWSN* sunt consumatoare mai mari de energie, au capacități mult mai mari de calcul și memorie și sunt de obicei mai deștep decât nodurile dintr-o rețea *WSN*[7].

2.3.2.1 ZigBee

Este o rețea de tip mesh, unde fiecare nod este conectat cu unul sau mai multe noduri în același timp. Se bazează pe standardul *IEEE 802.15.4* care este axat în special pe controlul și monitorizarea parametrilor din mediul industrial, construcția și mentenanța caselor inteligente, dar și automatizarea sistemelor energetice. Principalele avantaje ale unei astfel de rețele sunt consumul redus de energie și suportul pentru configurarea acestora în diferite topologii. Totuși, dacă numărul de noduri ajunge la un număr foarte mare, atingerea obiectivului în ceea ce privește timpul de ciclu poate deveni imposibilă [11]. Există trei tipuri de dispozitive: Coordonator, care este rădăcina rețelei și conține informații cu legătură la chei de securitate, iar în același timp este responsabilă cu conectarea rețelei la alte rețele; Router, care transmite date la alte dispozitive; Dispozitiv coadă(engl. *End device*), care reprezintă senzorul și comunică doar cu *router*-ul sau coordonatorul. Acesta nu poate comunica cu alte dispozitive din rețea. O variantă îmbunătățită a rețelei admite gruparea dispozitivelor vecine și stocarea de date. Viteza maximă la care poate ajunge este de 250 kbps, într-o configurare de până la 30 de metri.

2.3.2.2 Wireless HART

Este o extensie a protocolului *HART* special concepută pentru monitorizarea proceselor și controlul acestora. Aceasta se bazează pe standardul *IEEE 802.15.4* și are o configurație de tip *mesh* în care fiecare dispozitiv poate să transmită atât datele proprii cât și datele provenite de la alte dispozitive mai departe. Putem avea mai multe rețele *HART* în aceeași arie, deoarece fiecare mesaj transmis are un identificator unic. Fiecare nod are o listă cu vecinii lui care poate fi actualizată în momentul detectării unui defect. Securitatea acestui protocol este dată de criptarea datelor făcută cu o cheie simetrică de 128 de biți

2.3.2.3 UWB

Banda Ultralargă(engl. *Ultrawideband-UWB*) este o tehnologie *wireless* de transmitere a datelor pe mici distanțe bazată pe transmiterea unor impulsuri emise în secvențe periodice. Nu se recomandă utilizarea acestui tip de rețea pe distanțe mari sau pentru măsurarea și monitorizarea parametrilor în medii foarte ostile, datorită undelor transmise.

2.3.2.4 IETF 6LoWPAN

Acest tip de comunicare se bazează în întregime pe *IP* versiunea 6(*IPv6*). Avantajele unei astfel de rețele sunt abilitatea de a comunica direct cu alte dispozitive conectate prin *IP*, dar și suportul care există pe piață în acest moment [10].

Tabelul 2 oferă o explicație mai concretă a specificațiilor fiecărei tip de rețea.

Tabel 2: Comparare Protocoale de comunicare Wireless

Protocol	Distanță	Frecvență	Viteză	Caracteristici	Aplicații
ZigBee	~75m	2.4Ghz	250kbps	Suportă topologii de tip stea, arbore și mesh	Înterupătoare wireless, echipamente industriale
WirelessHART	Max 225m	2.4 GHz	250kbps	Bazat pe 802.15.4, autoorganizator, sincronizat în funcție de timp, arhitectură mesh	Dispozitive inteligente responsabile cu controlul proceselor industriale
6LoWPAN	Max 75m	2.4 Ghz ISM,915 MHz(NA),868 MHz(EU)	250kbps	Pot fi conectate multe dispozitive în funcție de IP	Senzori wireless, case inteligente, producție automată
UWB	Max 200m	3.1-10.6 GHz	110mbps	Acuratețe mare	Localizare

2.4 Aplicații întâlnite în industrie

Datorită gradului mare de manevrabilitate de care sunt capabili, roboții industriali se întâlnesc în mai toate industriile din zilele noastre. Printre primele operații la care au fost supuși se enumeră sudatul, manipularea materialelor, vopsitul, paletarea, mutatul obiectelor, asamblarea diferitor componente, tăierea, polișarea sau lipirea. În toate aceste aplicații, controlul milimetric al robotului este absolut necesar, iar prin urmare, trebuie gândite strategii care să îndeplinească aceste condiții. Este aproape imposibil să prezicem fiecare poziție prin care robotul să treacă până să îndeplinească *task*-ul cerut, iar de aceea, robotul trebuie echipat cu inteligență suficientă care să faciliteze întreg procesul. Aici poate fi vorba de senzori de poziție, de atingere sau chiar de camere inteligente care să îndrume robotul pe traiectoriile necesare. Luând ca exemplu un proces de sudare a două componente între ele, pe o traiectorie fixă, putem programa robotul să execute o mișcare liniară pe marginea lor. Dar ce facem dacă dimensiunea pieselor se schimbă? Va trebui să reprogramăm robotul la fiecare mică modificare a componentelor. Acest aspect se poate observa în mai toate procesele enumerate mai sus, unde o mică modificare a materialelor folosite poate genera o problemă uriașă în ceea ce privește controlul robotului. Pentru a evita astfel de situații și a combate aceste restrângeri, în cazul exemplului explicat, o cameră inteligentă poate fi folosită. Aceasta scanează componentele care necesită modificări și transmite mai departe parametrii de mișcare robotului. Ca rezultat, robotul va ști mereu între ce puncte trebuie să se deplaseze, dar și cu ce viteză. Totodată folosirea unei camere inteligente vine cu dezavantajele ei, deoarece ea trebuie calibrată, unghiul din care se ia

imaginea trebuie să fie perpendicular pe piese, iar dacă nu, datele obținute trebuie modificate, lumina trebuie să fie bună pentru a avea măsurători cât mai precise etc.

O altă aplicație întâlnită într-o măsură foarte mare în industrie, este operația de paletare, în care robotul trebuie să sorteze, să mute și să adune materialele de același tip la o viteză foarte ridicată deoarece timpul este foarte important în astfel de procese. De obicei aceste materiale vin pe o bandă transportoare, iar sortarea lor se face în funcție de greutate, dimensiuni, culori etc. Toate aceste caracteristici pot fi delimitate cu ajutorul senzorilor sau a camerelor. În majoritatea aplicațiilor în care materialele mânuite se schimbă des, trebuie aplicați algoritmi complexi de mișcare pentru satisfacerea condițiilor.

2.4.1 Aplicații de tipul *Pick and Place*

Reprezintă cea mai răspândită aplicație a roboților industriali în zilele noastre și se realizează cu ajutorul unui braț robotic montat de o suprafață plană ce ia materialul dintr-o parte și îl mută în altă parte. Materialul se poate afla într-o poziție fixă ceea ce face ca punctul de ridicare să poată fi învățat de către robot sau poate fi în mișcare, de exemplu pe o bandă transportoare, caz în care este nevoie de dispozitive inteligente care să ghideze robotul la poziția exactă din care se face ridicarea. Integrarea roboților în astfel de operații duce la maximizarea productivității, unii dintre ei procesând chiar și 200 de produse pe minut. Aplicațiile de tipul *pick and place* nu reprezintă doar mutarea obiectelor dintr-o parte în alta, ci asamblarea diferitelor componente, sortarea, împachetarea și despachetarea acestora. Aceste operații nu ar fi, însă posibile fără un element de prindere potrivit. În funcție de materialele cu care avem de a face, trebuie să alegem un end-effector corespunzător care să respecte condițiile de finețe sau manevrabilitate ale elementelor.

2.5 Optimizarea aplicațiilor de tipul *Pick and Place*

Cea mai simplă astfel de aplicație întâlnită în practică este ridicarea și mutarea materialelor dintr-un singur loc, într-un singur loc. Astfel robotul nu va trebui să execute decât o deplasare între două puncte, iar în cazul în care spațiul este restrâns, câteva mișcări intermediare vor fi adăugate pentru evitarea coliziunilor. În procesele mai complicate există mai multe puncte de *pick* și mai multe puncte de *place*, iar în funcție de domeniul în care se lucrează pot exista mai multe variante de optimizare care să crească nivelul producției. Câteva metode de optimizare le reprezintă folosirea algoritmilor euristici în care se ia în vedere minimizarea timpului sau a distanței parcurse de către robot. Totodată aceste tehnici nu duc întotdeauna la o soluție perfectă, ci mai degrabă la găsirea unui minim local. În vederea perfecționării soluției, algoritmi metaeuristici pot fi aplicați. Aceștia vin cu o îmbunătățire față de euristicii clasici deoarece pot fi aplicați pe orice problemă de optimizare, unde datele cunoscute sunt limitate sau puterea computațională este mică. Câțiva algoritmi de genul sunt algoritmi genetici (engl. *Genetic Algorithm*), optimizarea cu colonii de furnici (engl. *Ant Colony Optimization*), optimizarea cu roiuri de particule (engl. *Particle Swarm Optimization*) etc.

În lucrarea [12] este dezbătută o astfel de problemă de optimizare folosindu-se un algoritm metaeuristic de optimizare bazat pe căutare locală iterată (engl. *Iterated Local Search*) și pe programare întreagă (engl. *Integer Programming*) pentru un proces de fabricare al PCB-urilor. Scopul este minimizarea distanței parcurse în vederea ridicării și mutării componentelor prin găsirea unei secvențe optime și minime ca durată de *pick* și *place*. Pentru a înțelege mai bine ideea, în figura 2.6 este prezentată o reprezentare grafică a interpretării unui PCB. Punctele constituie locuri în care urmează să se monteze componente.

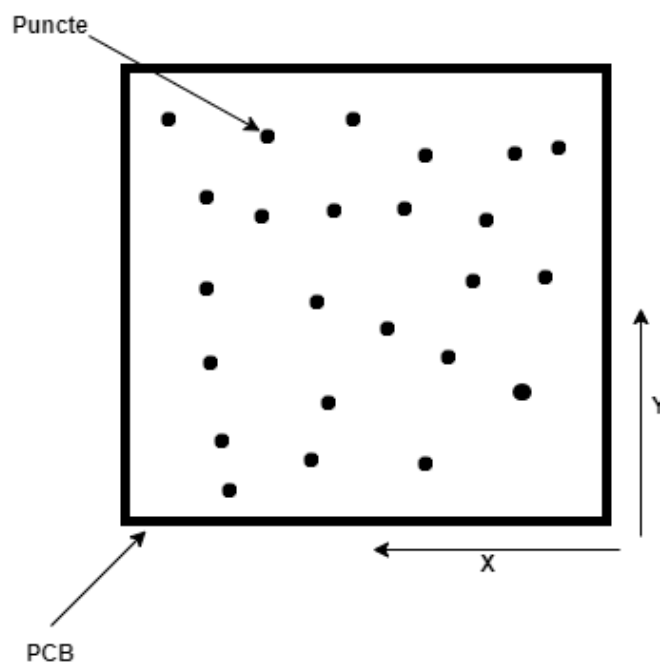


Figura 2.6: Localizarea punctelor de plasare a componentelor pentru minimizarea distanțelor parcurse de robot

PCB-ul este fixat pe o masă de lucru, iar coordonatele fiecărui punct sunt încărcate în sistem. Mai departe, un element de execuție ia piese de pe un alimentator și le potrivește în dreptul fiecărui punct. Acest pas se repetă până fiecare componentă este așezată la locul ei. Se pot ridica mai multe decât o singură componentă în același timp.

Pentru a reprezenta rezultatele într-un mod concis, au fost aleși și aplicați alți doi astfel de algoritmi: genetic și memetic. Rezultatele arată, însă, că algoritmul de optimizare bazat pe căutare locală iterată s-a descurcat cel mai bine, scoțând cel mai bun timp și dovedindu-se capabil să lucreze cu structuri de date foarte mari.

3 Aparatură hardware utilizată

3.1 Controler Logic Programabil *Beckhoff CX5140-0155*

Controlerul *CX5140-0155* face parte din familia computerelor încorporate *CX5100*. Numele acestui model este dat de configurația *hardware*, dar și *software* de care dispune. Acesta vine echipat cu un procesor *Intel Atom* de 1.9 GHz cu 4 miezuri ce îi oferă o putere mare de calcul. Sistemul de operare ce rulează este un *Windows 10 IoT Enterprise, LTSB (64-Bit)* special conceput pentru astfel de sisteme integrate, iar aplicațiile concepute pot fi încărcate, rulate și administrate direct în mediul integrat *Twincat 3 XAR(eXtended Automation Runtime)*, independent de sistemul de operare.

3.1.1 Privire de ansamblu asupra arhitecturii

Toate modelele ale acestei familii, *CX51x0*, au aceeași arhitectură prezentată în figura 3.1. Unitatea centrală de procesare mai conține un controler de memorie și unul grafic. Memoria *RAM* poate fi de 2GB sau de 4GB *DDR3* și nu poate fi modificată după ce modelul a fost produs. Există două interfețe *PCIe* pentru comunicații, patru *USB*, o *DVI*, o interfață serială, una *SATA* pentru memorie și una *SD*. Controlul comunicației este realizat de două procesoare *Intel i210*, câte unul pentru fiecare port.

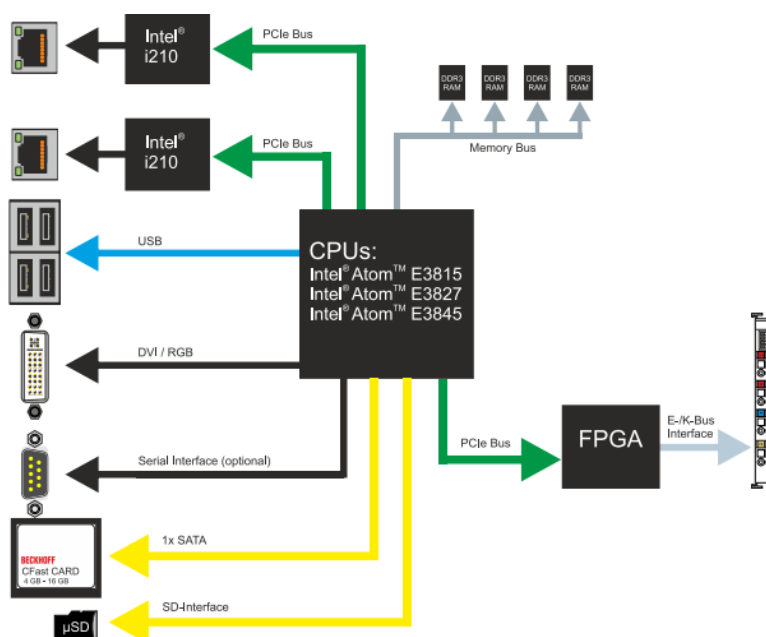


Figura 3.1: Arhitectura modelului familiei de plc-uri *CX51x0* [13]

Cele patru intrări *USB* sunt folosite în vederea conectării unui mouse sau a unei tastaturi. Interfețele de *Ethernet* sunt independente și nu există *switch*-uri integrate. Profilul acestor interfețe poate fi modificat în multe moduri, dar în fabrică, ele se configurează pentru comunicația *EtherCAT*. Amândouă interfețele pot atinge viteze de 10/100/1000 mbps. Primul led indică starea comunicării, dacă există o conexiune, culoarea lui este verde. În momentul transferului de date, acesta pâlpâie. Al doilea led indică viteza transferului de date. Dacă este 10 mbps, nu este aprins, la 100 mbps este verde, iar la 1000 mbps culoarea devine roșie. Interfața *DVI* este potrivită pentru conectarea unui monitor. Rezoluția depinde de distanța la care se află, iar maximul este de 5 m. Totuși există și extensii care pot duce această distanță până la 50 m.

3.1.2 1-second UPS

1-second UPS este un condensator ce continuă să alimenteze procesorul în momentul unei pene de curent. În acest interval scurt de timp, datele persistente pot fi salvate și menținute până la eventuala revenire a curentului, când vor fi încărcate în sistem, iar procesul poate continua. Flow-ul unui astfel de eveniment este descris în figura 3.2

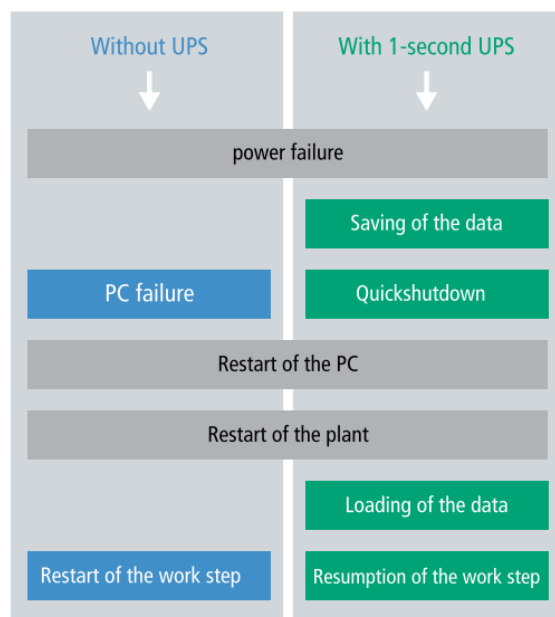


Figura 3.2: Comportamentul plc-ului în cazul unei pene de curent [13]

Acest sistem este construit pentru a dura întreaga viață a controlerului, iar pe durata acestui timp, condensatorul se va degrada. Prin urmare, este recomandată salvarea a maxim 1 MB de date. Variabilele persistente sunt declarate în momentul creării aplicației ce urmează să fie încărcată în memoria *plc*-ului și sunt salvate pe cardul de memorie aferent, de unde sunt și reîncărcate la repornirea sistemului.

3.1.3 Mediul de dezvoltare integrat Twincat 3

Datorită complexității mari a aparaturii moderne și în același timp a necesității de a reduce timpul dedicat controlării lor, programarea modulară este din ce în ce mai folosită în practică. Ea constă în declararea mașinilor, a funcțiilor sau a ansamblurilor ca module, fiecare fiind cât se poate de independente și structurate ierarhic. Scopul acestei

practici este, bineînțeles, reutilizarea codului, ușurința scalării acestuia, dar în același timp și înțelegerea lui. *Software-ul Twincat 3* reprezintă miezul sistemului de control și permite o astfel de programare el împărțindu-se în *eXtended Automation Engineering(XAE)* și *eXtended Automation Runtime(XAR)*. El poate transforma aproape orice calculator personal într-un computer capabil de operații în timp real.

Twincat XAE permite simplificarea ingineriei *software* prin integrarea a altor limbaje de programare sau *tool-uri* precum *MATLAB*, *Simulink*, *C++*, *C*, *C#*. Spre exemplu, utilizatorii pot realiza sisteme de control folosind *Matlab*, transformate mai apoi automat în module pentru *Twincat*. În același timp, *Twincat* este integrat ca o extensie în mediul de dezvoltare integrat (engl. *Integrated Development Environment-IDE*) *Microsoft Visual Studio*.

Twincat XAR oferă un mediu în timp real unde modulele pot fi încărcate, executate și administrate. Modulele nu trebuie create folosind același compiler, dar totuși ele sunt tratate la fel. Aceste module sunt apelate ciclic prin intermediul *task-urilor* sau prin intermediul altor module. Limita numărului de *task-uri* este 65000, dar în general, depinde de resursele dispozitivului. Un alt aspect important al acestui *software*, este capacitatea de a împărți *task-uri* pe diferite miezuri ale procesorului (acolo unde resursele *hardware* permit)[13].

3.2 Robot *Stäubli TS2-80*

3.2.1 Controlerul *CS9*

Controlerul *CS9* este un computer specializat în controlul tuturor roboților produși de *Stäubli*. O privire de ansamblu asupra lui este reprezentată în figura 3.3. Acesta este format din 3 componente principale.



Figura 3.3: Controler *CS9* [14]

Principala componentă reprezintă partea de alimentare a brațului robotic. Aceasta conține o placă de control numită *STARC9* ce acționează ca un translator între

limbajul de programare și semnalele codificatoarelor pentru mișcarea brațului. În același timp el conține și amplificatoare pentru fiecare motor.

A doua componentă este computer-ul propriu zis ce conține unitatea centrală de procesare, dar și mai multe interfețe de comunicare printre care *Robot Safety Interface RSI9*, folosită pentru selectarea modului de lucru și securizarea intrărilor și al ieșirilor, o interfață pentru conectarea pendanțului capabilă de o viteză de 100 mbps, o interfață *USB* și una de *Ethernet*.

A treia componentă conține alimentarea de la rețea, un *switch* de pornire/oprire, mai multe siguranțe și câteva leduri pentru indicarea stării actuale a controlerului.

3.2.2 Brațul robotic TS2-80

Brațul robotic este format dintr-o bază, partea superioară a brațului, cot, antebraț și șurubul cu bile, precum în figura 3.4. Acestea reprezintă trei elemente de rotație și un element de translație. Datorită acestui tip de configurație, poate atinge viteze foarte mari și este preferat în procesele de asamblare.



Figura 3.4: Brațul robotic TS2-80

Unele limitări când vine vorba de astfel de roboți stau în raza de acțiune pe care pot lucra și în greutatea pe care o pot manevra, ea nedepășind 10 kg.

3.2.3 Teach Pendant pentru brațul robotic TS2-80

Pendant-ul robotului *Stäubli TS2-80* dispune de o interfață grafică cu ecran tactil și de mai multe butoane de control precum în figura 3.5. Butoanele din partea stângă sunt folosite pentru navigarea prin interfețele dispozitivului (acasă, aplicații, I/O etc.), în timp ce cele din dreapta sunt folosite pentru controlul robotului (pornirea mișcării, modificarea vitezei și controlul fiecărui ax). Acesta mai dispune de un buton de oprire de urgență care, odată apăsă, oprește orice mișcare, iar pe partea din spate de un buton de activare a dispozitivului. Interfețele *pendant*-ului permit selectarea profilurilor,

selectarea aplicațiilor ce dorim să ruleze, observarea și analizarea erorilor, controlul ieșirilor, mișcarea manuală și automată, setarea limbii, vizualizarea detaliilor *hardware* și *software* ale robotului (sistem de operare, timp de ciclu, parametrii de siguranță etc.) și controlul frânelor fiecărui ax. În același timp el permite și programarea robotului prin metoda “*teaching*”, prin care se salvează în memorie poziția anumitor puncte prin care robotul trece. Există și o funcție de *back-up* a datelor, dar și a aplicațiilor.



Figura 3.5: Teach Pendant [14]

3.2.4 Mediul de dezvoltare integrat Stäubli Robotics Suite

Stäubli Robotics Suite este un mediu de programare ce rulează pe sistemul de operare *Windows* și simplifică gestionarea robotului. El permite dezvoltarea, simularea și depanarea aplicațiilor ce urmează să fie încărcate în memoria robotului și utilizate în producție. Suportă evaluarea conceptelor de automatizare a roboților într-un mediu intuitiv prin utilizarea interfețelor 3D, chiar și fără experiență în programare și simularea diferitelor scenarii întâlnite în producție. Programarea se face utilizând limbajul *VAL3* care este dedicat roboților *Stäubli*. Acesta este un limbaj de nivel înalt ce combină funcționalitățile de bază ale unui limbaj de programare în timp real cu funcționalități specifice roboților industriali [14].

3.3 Tehnologia de comunicație *EtherCAT*

EtherCAT (*Ethernet Control Automation Technology*) este un protocol de comunicare bazat pe *Ethernet*, dezvoltat de compania *Beckhoff Automation* special pentru controlul industrial și standardizat în *IEC 61158*. Acesta folosește modelul *master/slave*, în care există un singur dispozitiv de tip *master* și mai multe dispozitive de tip *slave*, iar comanda se face unidirecțional. Deoarece este fondat pe *Ethernet*, aceasta folosește cadrele și stratul fizic descrise în *IEEE 802.3 Ethernet Standard*. Principalele îmbunătățiri aduse sunt minimizarea timpului de răspuns, acuratețea datelor, ușurința integrării și costul redus al implementării.

3.3.1 Principiul de funcționare al tehnologiei EtherCAT

Principiul de funcționare al tehnologiei *EtherCAT* este simplu. *Master*-ul trimite o telegramă care trece prin fiecare nod legat la rețea. Fiecare dispozitiv de tip *slave* citește datele care îi sunt adresate în timp ce acestea îl intersectează și își scrie propriile date în cadru(engl. *Frame*). Dispozitivul de tip *master* este singurul căruia îi este permis să trimită *frame*-uri de date, dar nodurile au capacitatea de a le pasa mai departe către alte noduri precum în figura 3.6.

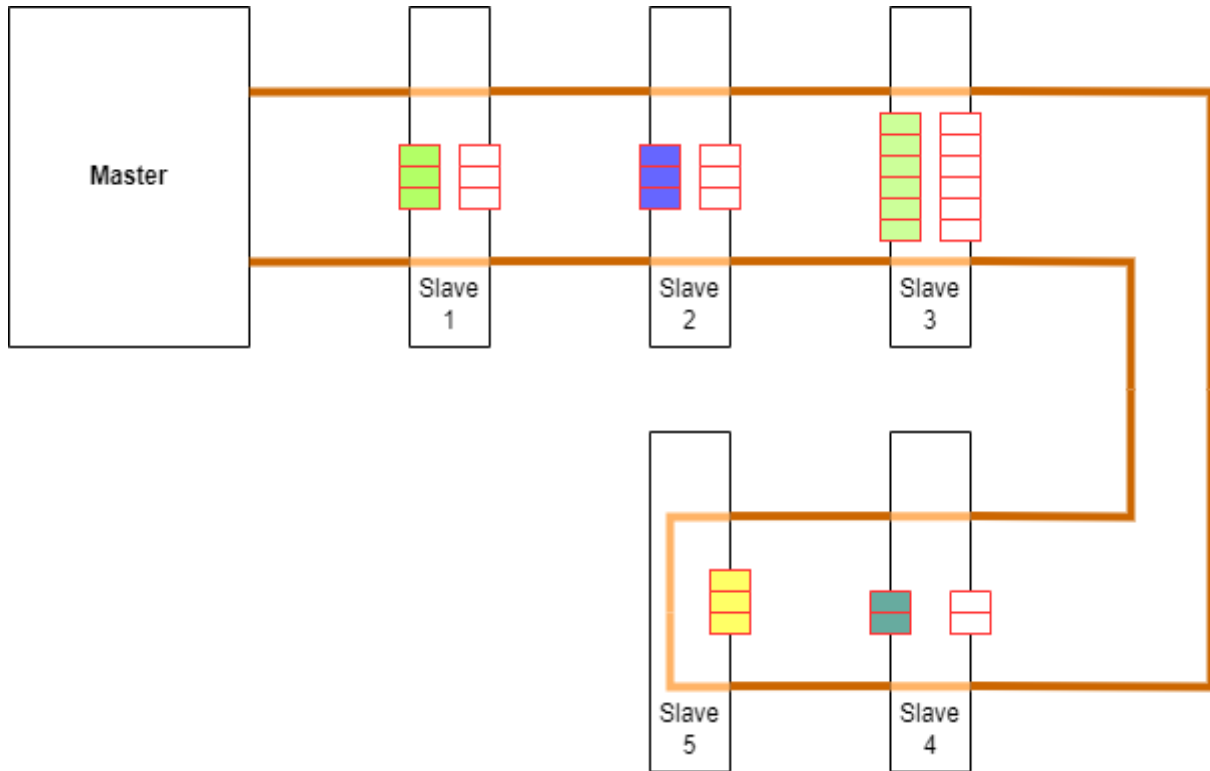


Figura 3.6: Principiul de funcționare al tehnologiei EtherCAT

Dispozitive dintr-o rețea *EtherCAT* au de obicei două porturi *Ethernet*: la primul fiind conectat cablul de la nodul precedent, iar la al doilea cablul către nodul următor. Ultimul nod detectează terminarea rețelei datorită lipsei conectivității nodului următor și întoarce datele către *master*. Această abordare asigură operare în timp real și evită întârzierile. Totodată, acest aspect poate fi privit ca un dezavantaj, deoarece foarte multe dispozitive aflate pe piață în momentul de față nu dispun de resursele necesare pentru a ține pasul cu timpul de ciclu foarte mic al tehnologiei *EtherCAT*. Prin urmare, este posibil ca rețeaua să fie încetinită pentru ca fiecare dispozitiv să poată face schimbul de date necesar.

Master-ul folosește doar un controler de acces media(engl. *Media Access Controller-MAC*) fără altă aparatură *hardware*, ceea ce face ca el să poată fi reprezentat de către orice dispozitiv care dispune de un port *Ethernet*. Dispozitivele de tip *slave* au nevoie de un controler adițional numit *Ethercat Slave Controller(ESC)* pentru a primi și a trimite date către *frame*, în timp ce acesta este în mișcare.

Într-o rețea *EtherCAT* pot fi conectate până la 65535 noduri, sub diferite topologii precum stea, inel, linie, magistrală etc. prin intermediul terminalelor de joncțiune. În același timp, distanța pe care o astfel de rețea se poate întinde nu este o problemă, deoarece prin aceste joncțiuni se poate trece de la cabluri normale de *Ethernet* la cabluri de fibră optică ce se pot întinde până la 500 km. Viteza unei astfel de rețele este influențată bineînțeles de numărul de noduri, iar limita superioară atinge 100 mbps.

3.3.2 Ceasuri distribuite

Într-un proces complicat, care este format din mai multe componente (elemente de execuție, senzori etc.) având ca scop controlul sau acolo unde acțiuni simultane trebuie efectuate, este important ca nodurile să opereze având o legătură strânsă de timp între ele, adică să fie sincronizate. Un exemplu constă în setarea a mai multor ieșiri simultan, independent de momentul în care stația primește acele date. Termenul de simultan este relativ, în funcție de proces. La unele acesta poate însemna o gamă de 0-10 ms, în timp ce la altele, limita este 0-100 μ s.

Sincronizarea nodurilor într-un astfel de proces se efectuează cu ajutorul ceasurilor distribuite (engl. *Distributed Clocks-DC*). Această metodă nu necesită hardware adiacent și minimizează *jitter*-ul până la valori mult mai mici de 1 μ s. În timp ce structura de date trece prin fiecare nod, în momentul primirii de către acesta, el returnează o înregistrare a timpului curent ce se atașează de cadru. Acest proces se întâmplă și în momentul în care datele se întorc către *master*. Aceste înregistrări sunt mai apoi procesate de *master*, iar rezultatul reprezintă cantitatea de timp ce trebuie adăugată pentru a compensa întârzierile fiecărui nod. Dacă toate nodurile sunt sincronizate, ele pot culege date provenite de la intrări și pot modifica ieșiri în același timp.

3.3.3 Profile de comunicare

Există două tipuri de comunicare ce se pot realiza într-o rețea *EtherCAT*. Prima dintre ele este comunicarea ciclică (*PDO communication*) dintre *master* și toate dispozitivele *slave* în timp real, iar a doua se bazează pe mesaje transmise aciclic între dispozitive (*SDO communication*). *Master*-ul trimite o comandă nodurilor, iar acestea trimit înapoi un răspuns.

Pentru a permite conectarea unei mari varietăți de dispozitive, au fost stabilite câteva profile de comunicare: *CoE* (*CANopen over EtherCAT*), *SoE* (*Servo Drive over EtherCAT*), *FoE* (*File Access over EtherCAT*) și *EoE* (*Ethernet over Ethercat*). Aceste profile permit implementarea protocoalelor *CANopen*, *Sercos*, *Ethernet* într-o rețea *EtherCAT*. Mai multe profile pot exista în același sistem, iar un nod *slave* nu trebuie să suporte toate aceste profile. El poate alege care i se potrivește mai bine și anunță *master*-ul printr-un fișier de descriere (engl. *Device Description File*).

3.3.4 EtherCAT State Machine

Starea fiecărui dispozitiv de tip *slave* este controlată prin intermediul mașinii de stare. În funcție de aceasta, diverse operații sau funcții sunt accesibile sau executabile de către dispozitiv. În figura 3.7 este descrisă mașina de stare. Se definesc cinci stări: *Init*, *Pre-Operational*, *Safe-Operational*, *Operational*, *Bootstrap(optional)*, iar permisiunea trecerii dintr-o stare în alta este descrisă prin săgeți.

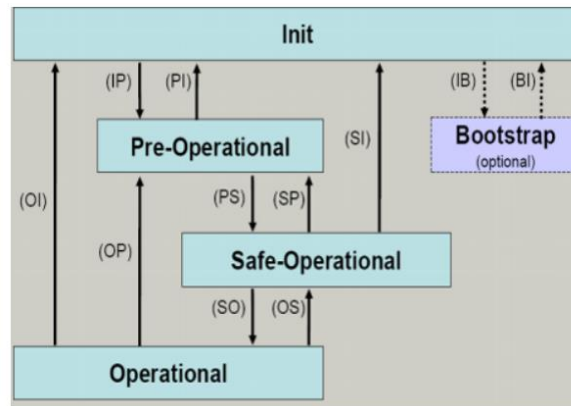


Figura 3.7: Mașină de stare EtherCAT [15]

După pornire, toate dispozitivele slave trec în starea *INIT*. În această stare, nu există niciun fel de comunicare. *Master*-ul inițializează canalele managerului de sincronizare pentru diferitele profiluri de comunicare. În următoarea stare, *Pre-Operational*, doar comunicația *SDO* (*Service Data Objects*) este posibilă, iar *master*-ul configurează canalele managerului de sincronizare pentru comunicație *PDO* (*Process Data Objects*). În același timp, parametrii specifici terminalului, care pot diferi de setările implicite, sunt transferate către *master*. În timpul tranziției de la *Init* la *Pre-Operational*, dispozitivele slave verifică dacă comunicația aciclică a fost inițializată corect. În a treia stare, *Safe-Operational*, amândouă formele de comunicare sunt posibile. Totuși, dispozitivele *slave* păstrează ieșirile într-o zonă de siguranță, doar intrările fiind updatate ciclic. În timpul tranziției dintre *Pre-Operational* și *Safe-Operational*, dispozitivele slave verifică dacă managerul de sincronizare pentru comunicația *PDO* și ceasurile distribuite sunt configurate corect. În starea *Operational*, toate tipurile de comunicare sunt posibile, iar în *Bootstrap*, doar comunicația *FoE* este posibilă, în cazul updatării *firmware*-ului unui nod *slave* [15].

4 Analiză, proiectare, implementare

În vederea atingerii obiectivelor setate în capitolul de introducere al acestei lucrări și pentru a exemplifica detaliile teoretice discutate în capitolele 2 și 3, am ales să creez o aplicație de tipul *pick and place* care să reprezinte într-un mod intuitiv modul de configurare și funcționare al computerelor logice programabile și al roboților din mediul industrial. La modul general, aplicația este compusă din două programe principale, unul creat pentru *plc*-ul Beckhoff CX5140-0155, în mediul de programare Twincat 3, iar celălalt creat pentru robotul Stäubli cu 4 axe, în mediul Stäubli Robotics Suite.

4.1 Crearea și configurarea aplicației în Twincat 3

Pentru a putea folosi acest program, un fișier executabil trebuie mai întâi descărcat de pe *website*-ul dezvoltatorilor. Acesta reprezintă un *wizzard* care ghidează utilizatorii prin tot procesul de instalare.

După instalarea și lansarea programului, o interfață precum cea din figura 4.1 va fi deschisă.

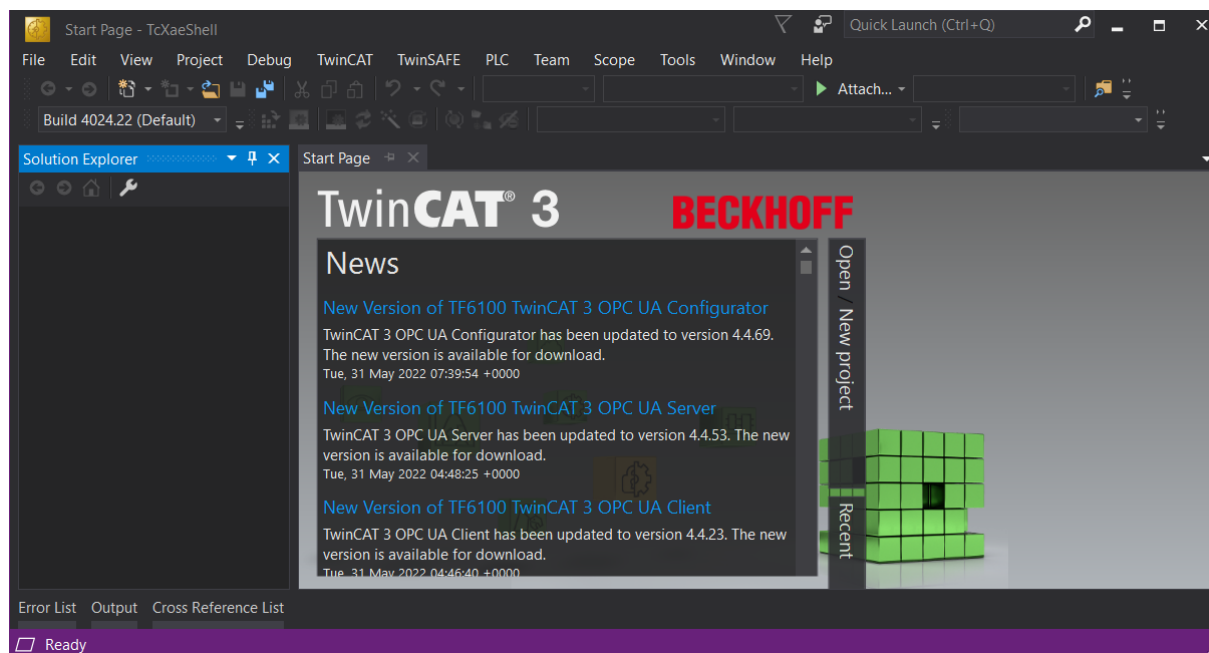


Figura 4.1: Interfață de pornire Twincat 3

Crearea unui proiect nou se face accesând *tab*-ul *File->New->Project* sau prin folosirea *shortcut*-ului *Ctrl+Shift+N*. Mai departe alegem din meniul din stânga *TwinCAT*

Projects și selectăm singura variantă disponibilă, dăm un nume, alegem directorul în care dorim să salvăm și apăsăm *OK* precum în figura 4.2.

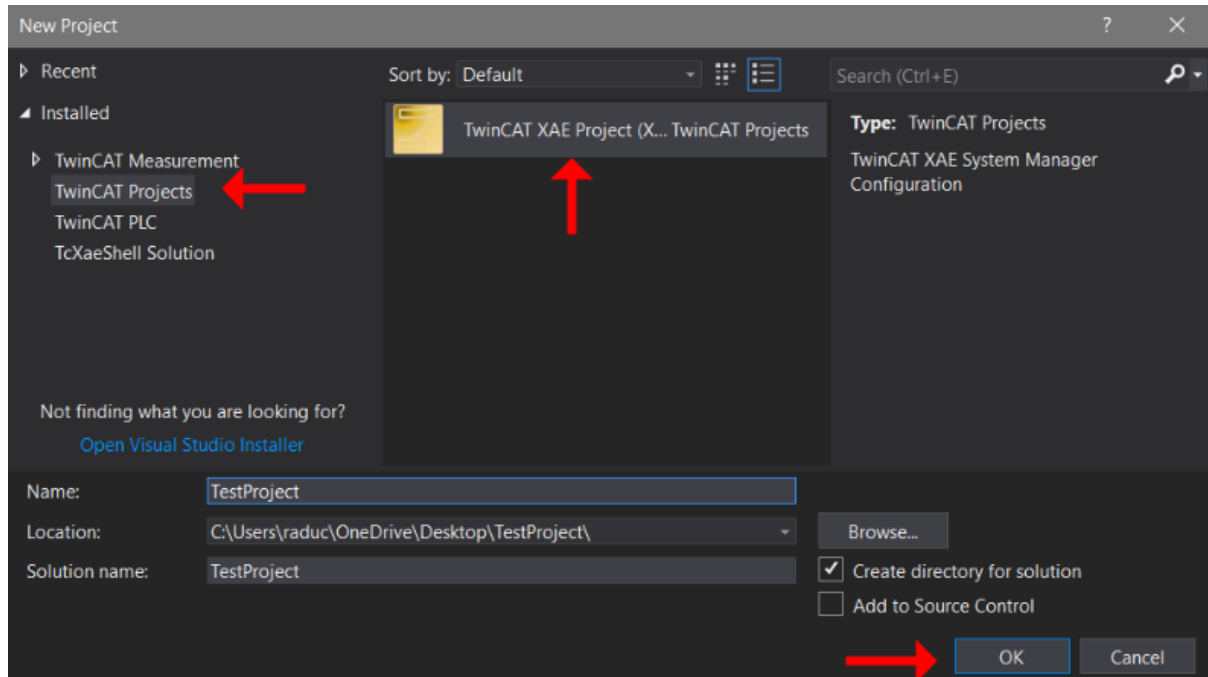


Figura 4.2: Crearea unui nou proiect nou în Twincat 3

Pentru ca aplicația să fie funcțională și să poată rula, câteva setări trebuie efectuate în ceea ce privește partea de conexiune cu *PLC*-ul, configurarea comportamentului în timp real și administrarea licențelor folosite. Aceste setări pot fi efectuate accesând *tab*-ul *SYSTEM* din figura 4.3.

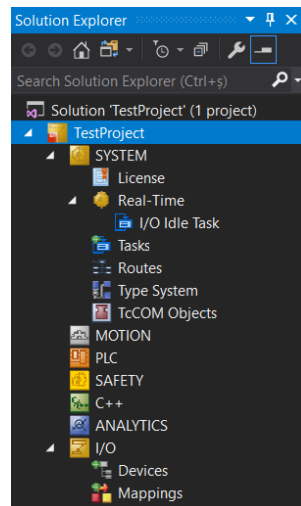


Figura 4.3: Solution Explorer în programul Twincat 3

Datorită componentei *XAR(eXtended Automation Runtime)* a programului *Twincat 3*, aplicația poate fi rulată atât local, pe computerul propriu, cât și pe un *plc*. Conexiunea dintre computerul de lucru și *plc* se realizează printr-un cablu de *Ethernet* direct în portul *X000* al *plc*-ului. După conectarea fizică dintre acestea, o legătură *software* trebuie efectuată. Asta se face accesând *tab*-ul *SYSTEM* și apăsând butonul *Choose Target..* din figura 4.4

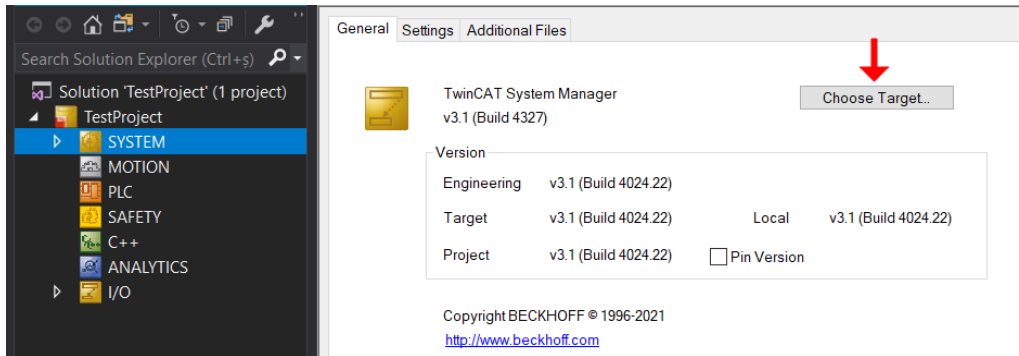


Figura 4.4: Tab-ul SYSTEM din cadrul Solution Explorer

După apăsarea butonului afișat, se va deschide o interfață pe care vom da *click* pe butonul de *Search(Ethernet)*..->*Broadcast Search* și selectăm adaptorul pe care dorim să se realizeze căutarea(wireless sau prin cablu). În urma căutării *plc*-ul va apărea în lista din figura 4.5. Putem vedea numele, adresa, versiunea de *Twincat* care rulează și sistemul de operare. Pe coloana *Connected*, dacă în dreptul numelui apare un *x*, înseamnă că conexiunea a fost realizată cu succes, iar în acest moment aplicația noastră poate fi descărcată și rulată direct pe *plc*.

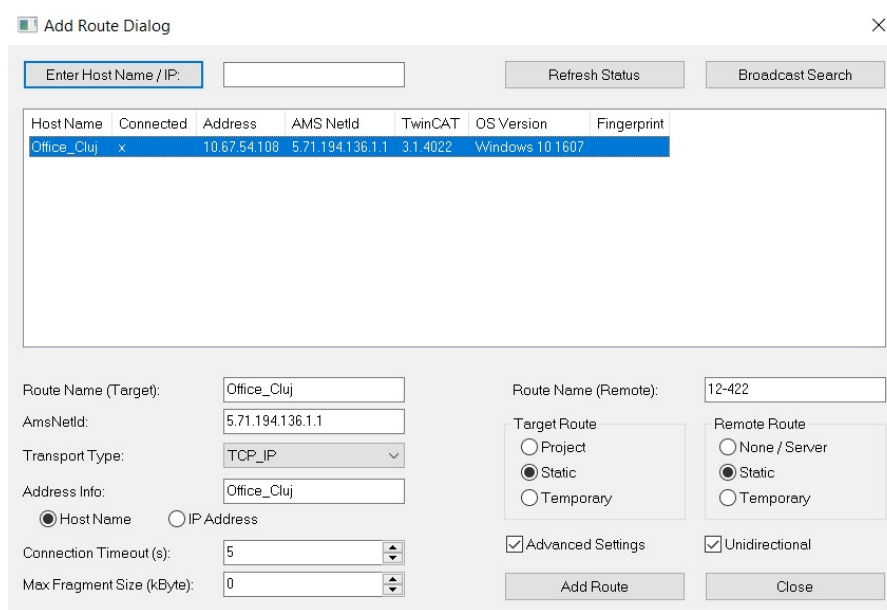


Figura 4.5: Adăugarea unei rute noi și conectarea computerului local cu *plc*-ul

În *tab-ul License* se pot genera diferite licențe pentru *toolbox*-urile de care avem nevoie în funcție de complexitatea și scopul aplicației. Un exemplu îl reprezintă figura 4.6. Generarea licențelor se realizează pe o perioadă de 7 zile și se pot reînnoi.

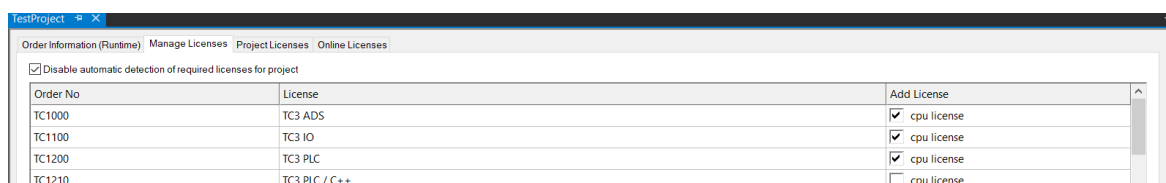


Figura 4.6:Selectarea licențelor dorite pentru aplicația din Twincat 3

În *tab-ul Real-Time* se configurează proprietățile de timp real ale aplicației. În funcție de posibilitățile *hardware* ale echipamentelor, avem posibilitatea să setăm pe ce miezuri ale procesorului dorim ca *task-urile* aplicației să ruleze. Acest aspect este evidențiat în figura 4.7. Se utilizează funcția *Read From Target*, care detectează automat, în funcție de sistemul ales(local sau *plc*) numărul de miezuri ale procesorului. În același timp, atunci când aplicația rulează pe propriul calculator, se recomandă utilizarea unui miez izolat(engl. *Isolated*). Putem izola un miez folosind proprietățile de *share/isolated* din secțiunea *Available Cores*.

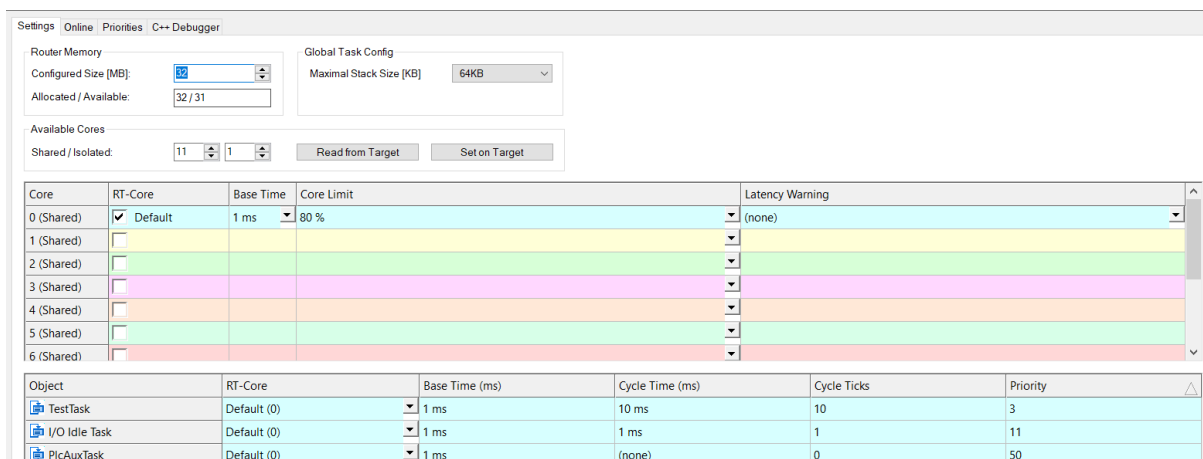


Figura 4.7: Configurare proprietăților de timp real ale aplicației

În secțiunea *Tasks* putem configura numele *task-urilor*, pe ce porturi rulează, timpul de ciclu, dar și prioritatea acestora. Aceste aspecte apar în partea de jos a figurii anterioare.

Următorul pas este crearea programului propriu-zis în care se realizează logica funcționării aplicației. Acest lucru se face dând *click* dreapta pe *tab-ul PLC->Add New Item* sau prin folosirea *shortcut-ului Ins*. O interfață precum cea din figura 4.8 va fi deschisă. Aici alegem *Standard PLC Project*, dăm un nume aplicației și apăsăm *Add*.

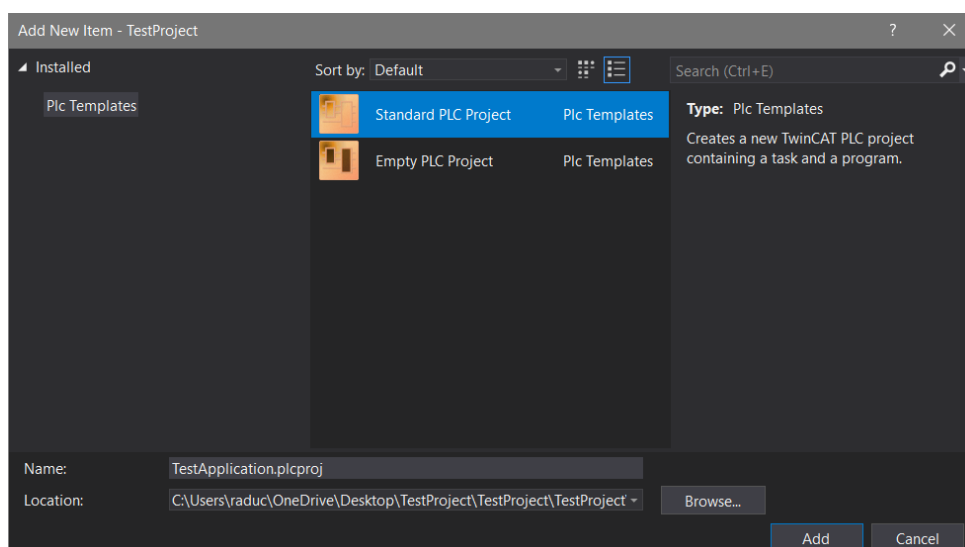


Figura 4.8: Crearea unei aplicații pentru plc folosind Twincat 3

După crearea aplicației, structura acesteia va arăta precum în figura 4.9.

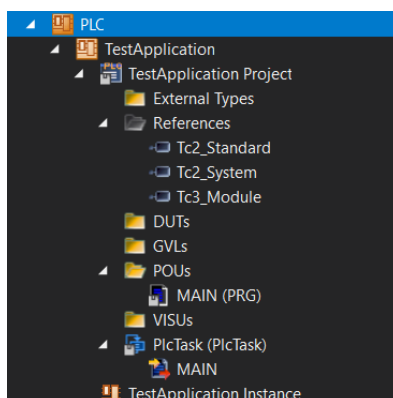


Figura 4.9: Structura unui Program plc

În directorul *References* găsim trei librării standard necesare oricărui proiect. Acolo pot fi adăugate și altele în funcție de necesitățile fiecărei aplicații în parte. Directorul *DUTs* conține tipuri de date, *GVLs* liste de variabile globale, *POUs* (*Program Organization Units*) programele dezvoltate, *VISUs* vizualizări, iar *PlcTask* reprezintă *task*-ul pe care aplicația rulează.

Tab-ul I/O conține dispozitivele conectate. Pentru a ne folosi de tehnologia de comunicare *EtherCAT* un *master* trebuie adăugat. Acest lucru se face dând click dreapta pe *Devices*->*Add New Item*. Se selectează *EtherCAT*->*EtherCAT Master* precum în figura 4.10 și se apasă *Ok*.

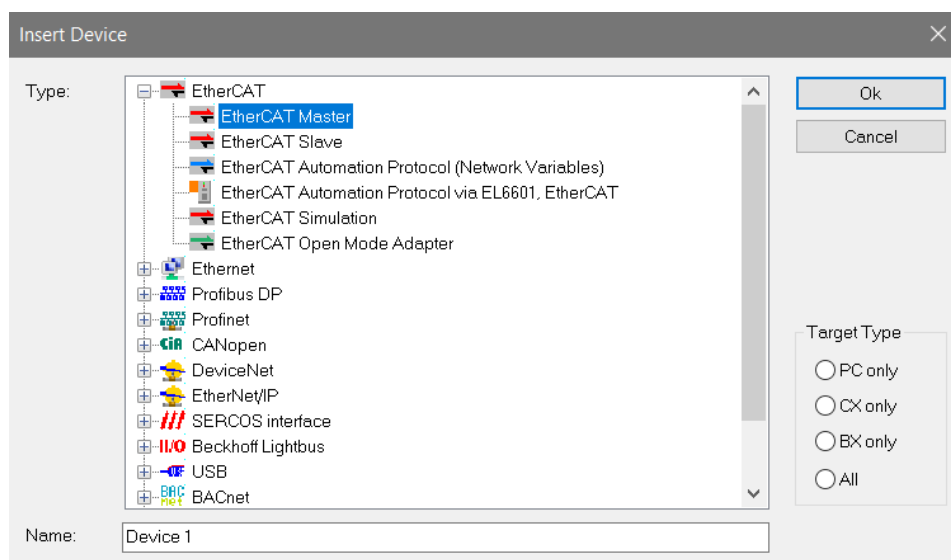


Figura 4.10: Adăugarea unui dispozitiv EtherCAT Master

După înserarea dispozitivului de tip *master*, pentru a găsi toate dispozitivele de tip *slave* din rețea se dă click dreapta pe *Device 1 (EtherCAT)* și se selectează *Scan*. *Twincat* efectuează o căutare și returnează o listă cu toate componentele găsite în figura 4.11. Fiecare *Term* reprezintă o cartelă atașată fizic *plc*-ului având diferite scopuri. *Term 11* reprezintă terminalul prin care se realizează comunicația dintre *plc* și robotul *Stäubli*. Totodată, nu toate dispozitivele de tip *slave* pot fi găsite prin această căutare, iar prin urmare ele trebuie adăugate manual. În 4.12 sunt cartelele fizice.

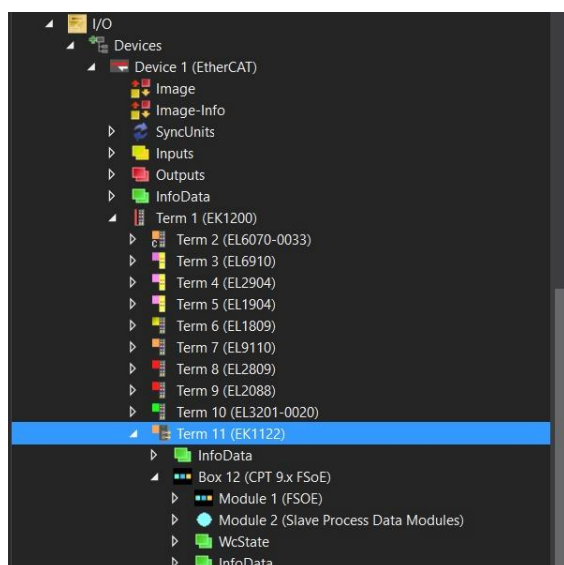


Figura 4.11: Rezultatul scanării dispozitivelor de tip slave din Twincat 3

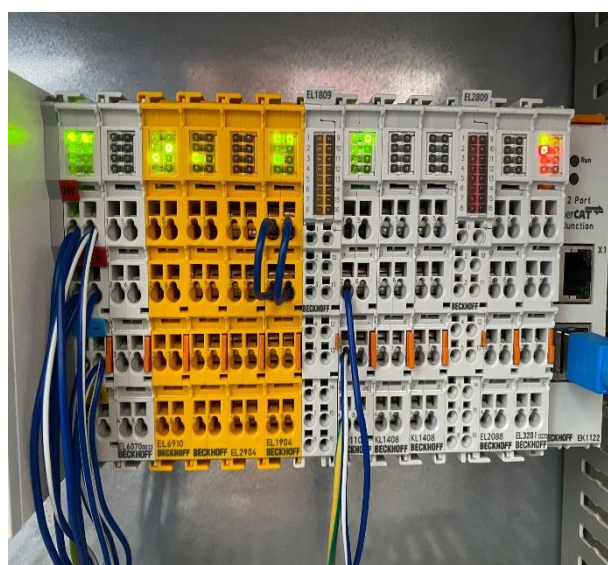


Figura 4.12: Terminale conectate fizic precum în figura 3.6

Conectarea robotului la *plc* se face cu ajutorul joncțiunii *EtherCAT* la care se leagă controlerul dispozitivului prin intermediul interfeței *Ethernet*, portul *J207/J208* descris în capitolul 3. Acesta este cofigurat ca dispozitiv *slave*. Configurarea intrărilor și al ieșirilor se face printr-un fișier *ESI(EtherCAT Slave Information)* ce descrie modul în care datele sunt schimbate între controlerul robotului și *plc*. Un exemplu de fișier *ESI* este în figura 4.13.

```

1 <?xml version="1.0" encoding="iso-8859-1"?>
2 <EtherCATModule xmlns:xsi="http://www.w3.org/2001/XMLSchema"
3 <Vendor>
4   <Id>#x00000584</Id>
5   <Name>Stäubli Faverges SCA</Name>
6   <ImageData16x14>424D3603000000000000003600000028000000
7 </Vendor>
8 <Modules>
9   <Module>
10     <Type ModuleClass="Staeubli_CPT9x_customer_module"
11     <Name>CPT 9.x RE/ECS V4.2</Name>
12     <!-- SRC_IOS -->
13     <RxPdo Sm="2" Fixed="true" Mandatory="true">
14       <Index>#x1601</Index>
15       <Name>1 Slave Process Data RxPDO</Name>
16       <Entry>
17         <Index>#x7D00</Index>
18         <SubIndex>1</SubIndex>
19         <BitLen>1</BitLen>
20         <Name>1 Byte Out (0)_Byte_0_Bit_0</Name>
21         <DataType>BIT</DataType>
22       </Entry>
23       <Entry>
24         <Index>#x7D00</Index>
25         <SubIndex>2</SubIndex>
26         <BitLen>1</BitLen>
27         <Name>1 Byte Out (0)_Byte_0_Bit_1</Name>
28         <DataType>BIT</DataType>
29       </Entry>

```

Figura 4.13: Fisier EtherCAT Slave Information (ESI) pentru Robot

Acest fișier se salvează în directorul *C:\TwinCAT\3.1\Config\Io\EtherCAT* și este selectat în momentul configurării modului de comunicare dintre *plc* și robot. Un exemplu îl reprezintă figura 4.14, în care variabile din program sunt legate de variabile descrise în fișierul *ESI*.

>Name	Online	Type	Size	Address	In/Out	User ID	Linked to
1 Byte Out (0)_Byte_0_Bit_0	X 0	BIT	0.1	82.0	Output	0	PRG_Cell.Instance_Robot.Out_0_Byte_0_Bit_0 . POU Outputs . Setup Instanc
1 Byte Out (0)_Byte_0_Bit_1	X 0	BIT	0.1	82.1	Output	0	PRG_Cell.Instance_Robot.Out_0_Byte_0_Bit_1 . POU Outputs . Setup Instanc
1 Byte Out (0)_Byte_0_Bit_2	X 0	BIT	0.1	82.2	Output	0	PRG_Cell.Instance_Robot.Out_0_Byte_0_Bit_2 . POU Outputs . Setup Instanc
1 Byte Out (0)_Byte_0_Bit_3	X 0	BIT	0.1	82.3	Output	0	PRG_Cell.Instance_Robot.Out_0_Byte_0_Bit_3 . POU Outputs . Setup Instanc
1 Byte Out (0)_Byte_0_Bit_4	X 0	BIT	0.1	82.4	Output	0	PRG_Cell.Instance_Robot.Out_0_Byte_0_Bit_4 . POU Outputs . Setup Instanc
1 Byte Out (0)_Byte_0_Bit_5	X 0	BIT	0.1	82.5	Output	0	PRG_Cell.Instance_Robot.Out_0_Byte_0_Bit_5 . POU Outputs . Setup Instanc
1 Byte Out (0)_Byte_0_Bit_6	X 0	BIT	0.1	82.6	Output	0	PRG_Cell.Instance_Robot.Out_0_Byte_0_Bit_6 . POU Outputs . Setup Instanc
1 Byte Out (0)_Byte_0_Bit_7	X 0	BIT	0.1	82.7	Output	0	PRG_Cell.Instance_Robot.Out_0_Byte_0_Bit_7 . POU Outputs . Setup Instanc
1 Byte Out (1)	X 0x00	BYTE	1.0	83.0	Output	0	PRG_Cell.m_ResetDone . POU Outputs . Setup Instance . Setup

Figura 4.14: Legătura dintre variabilele din program și fișierul ESI

În acest moment, toate configurațiile *hardware* și *software* sunt efectuate corect și putem trece la partea de implementare a aplicației.

4.1.1 Organizarea proiectului

Ideea aplicației, precum am explicat și în primul capitol, constă în crearea unui proces de *pick and place*, format dintr-un braț robotic și mai multe stații simulate cu ajutorul unor *timer-e*, care au funcții predefinite. Prin urmare, în ceea ce privește stațiile de lucru, am ales să creez patru tipuri de stații numite: *Conveyor*, *Drilling*, *Test* și *Metalization*. Diagrama fluxului de lucru este reprezentată în figura 4.15. Componente sosesc în modulul *Conveyor*, care mai apoi, sunt transportate la unul dintre modulele de *Drilling*. După un timp de procesare(diferit în funcție de stație), piesele sunt transportate la unul dintre modulele de *Test*. La final, fiecare piesă este transportată la modulul *Metalization*. Transportul pieselor este asigurat de către brațul robotic. În același timp, mai avem nevoie de un modul pentru robot, care este responsabil cu logica din spatele mișcărilor acestuia, dar și cu comunicațiile aferente. Toate aceste stații sunt integrate într-o celulă de lucru.

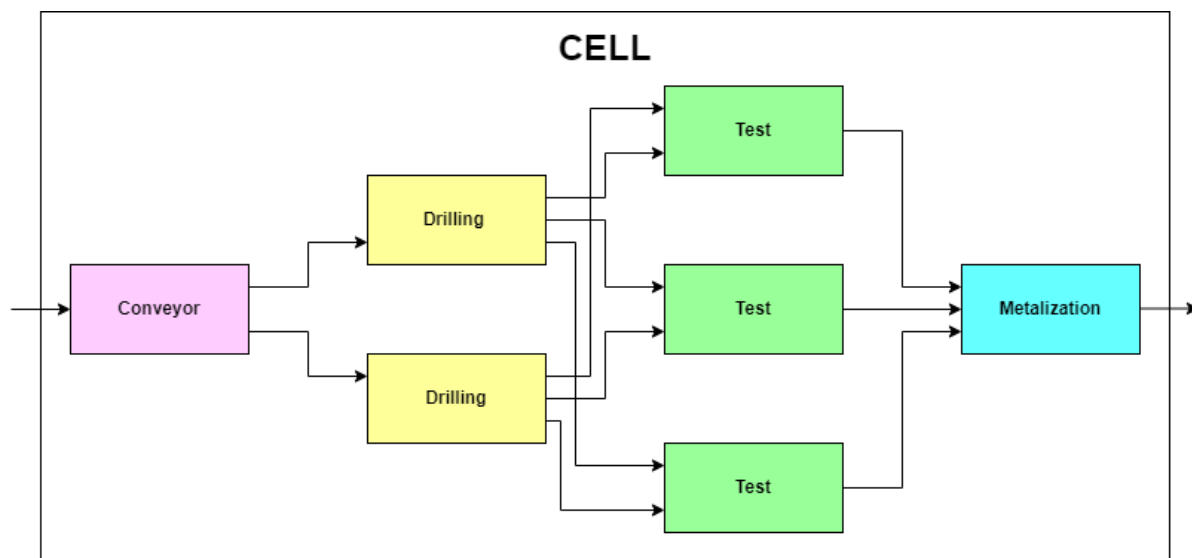


Figura 4.15: Fluxul de lucru al aplicației

Pentru programarea acestor stații am ales să folosesc limbajele de programare *Structured Text(ST)* și *Sequential Function Chart(SFC)* datorită flexibilității și vitezei de executare a comenzilor. Fiecare stație este construită pe baza programării modulare descrise în capitolul 3 și se bazează pe funcții bloc pentru a implementa funcționalitatea ei. În figura 4.16 sunt arătate principalele componente ale aplicației.

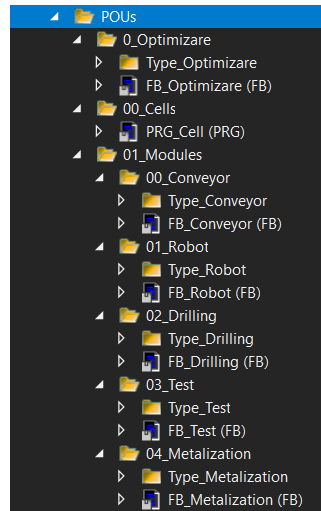


Figura 4.16: Componentele aplicației pentru plc

Directoarele cu numele *Type* reprezintă structuri de date folosite pentru a realiza comunicațiile dintre funcțiile bloc aferente. Înserarea unei funcții bloc noi se face dând *click* dreapta pe directorul de care dorim ca aceasta să aparțină *Add->POU*. Dăm un nume reprezentativ, alegem limbajul folosit și apăsăm *Ok* precum în figura 4.17.

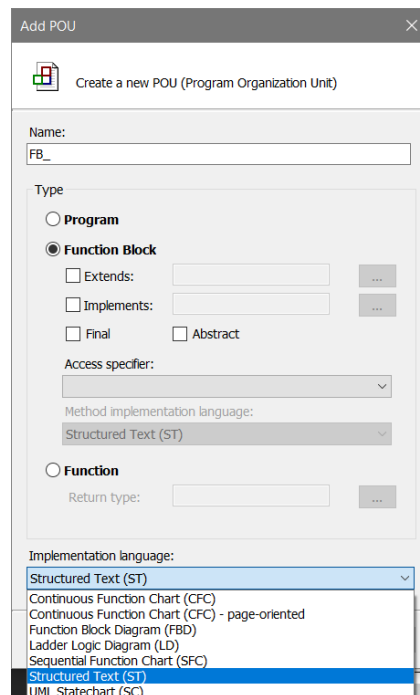


Figura 4.17: Adăugarea unei noi funcții bloc în programul plc-ului

4.1.2 Logica aplicației dezvoltate

În ceea ce privește partea de logică, fiecare stație în parte are un mod automat, în care acțiunile de procesare ce au loc asupra piesei sunt simulate cu ajutorul unor *timer*-e. Prin urmare, în momentul în care o piesă ajunge într-o stație de prelucrare, acea stație este semnalată, iar procesul poate începe. Fiecare proces are un timp ce poate fi setat, iar stațiile de test au un timp aleator în intervalul 95-105 secunde. După cum am spus și mai sus, transportul componentelor dintr-o stație de lucru în alta este asigurat de brațul

robotic. Pentru ca sistemul să nu se blocheze, o primă restricție o reprezintă faptul că robotul nu poate ridica o piesă dintr-un modul dacă următorul modul este ocupat cu alte piese. Ca o piesă să poată fi declarată bună, ea trebuie să treacă printr-o stație de fiecare tip în ordinea corectă. În figura 4.18 este reprezentat modul de organizare al stațiilor și legăturile care există între acestea. Funcțiile bloc *FB_Conveyor*, *FB_Drilling*, *FB_Test*, *FB_Metalization* comunică cu *FB_Robot* care la rândul ei comunică cu robotul *Stäubli* folosind tehnologia *EtherCAT* discutată în capitolul 3.

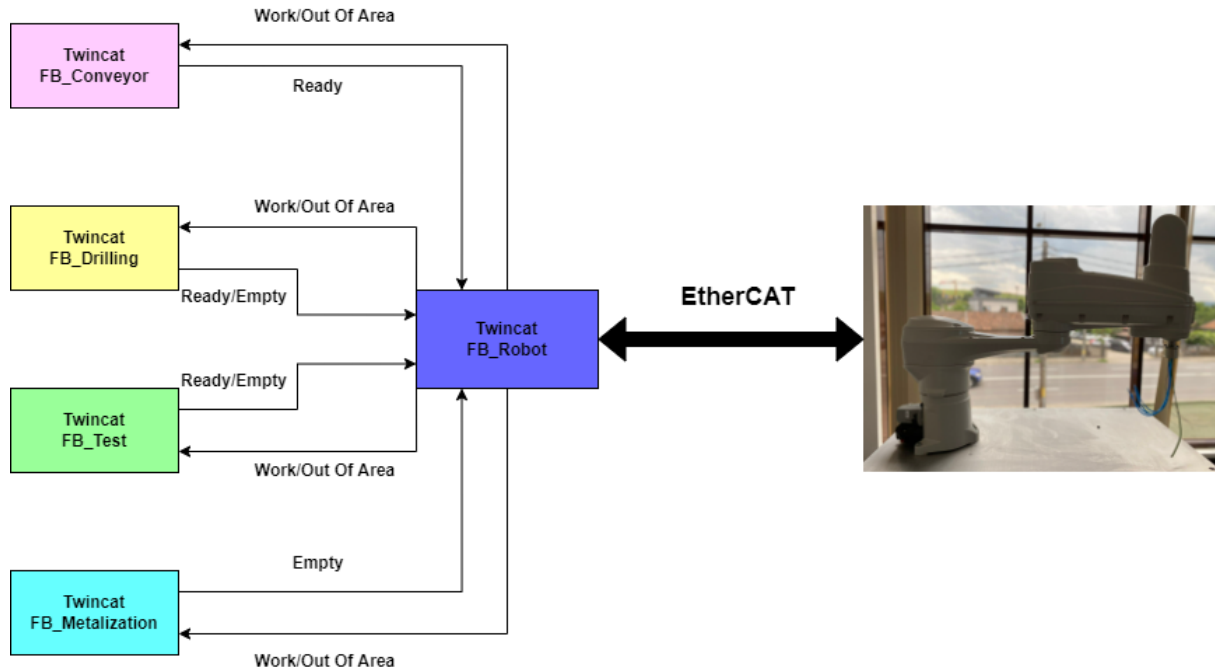


Figura 4.18: Organizarea aplicației și modul de comunicare

Primul pas după pornirea sistemului este inițializarea stațiilor de lucru. Acestea verifică poziția robotului folosindu-se de variabilele *Work/Out of Area*, iar dacă acesta nu se află în zona lor de acțiune, modulul *Conveyor* poate începe să aducă piese. Toate celelalte module intră într-o stare de *stand-by* până când robotul va aduce componentele ce necesită prelucrări în raza lor de acțiune, iar acestea vor fi detectate. Atunci când modulul *Conveyor* are o piesă gata, el semnalează robotul prin variabila *Ready*. Robotul vine, ia piesa și o transportă la următorul modul, *Drilling*. De la *Drilling* la o stație de *Test*, iar de la *Test* la modulul final, *Metalization*, după care piesa iese din sistem. Stațiile pot lucra în același timp, ceea ce înseamnă că putem avea maxim numărul de stații piese concomitent în sistem. Legătura dintre variabilele de comunicare este făcută prin intermediul celulei de lucru în care stațiile sunt instanțate și pornite. Modul de lucru al unei stații este bazat pe limbajul de programare *SFC(Sequential Function Chart)*, iar un exemplu îl reprezintă figura 4.19, în care este descrisă diagrama de flux a funcției bloc *FB_Conveyor*. Toate celelalte stații se bazează pe același principiu. Fiecare pas reprezintă o acțiune, în cazul ăsta, scrisă în *Structured Text(ST)* și are un nume reprezentativ pentru partea de care se ocupă. Toate aceste acțiuni rulează continuu, mai puțin acțiunile de intrare/ieșire care, în figura aferentă, sunt reprezentate de un „X”.

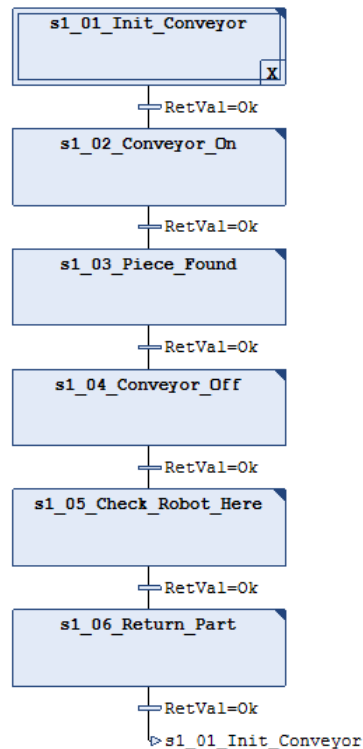


Figura 4.19: Modul de lucru al funcției bloc FB_Conveyor

4.1.3 Funcția bloc FB_Robot

Această funcție este cea mai importantă din toată aplicația, deoarece ea se ocupă cu coordonarea robotului *Stäubli* și monitorizarea tuturor stațiilor din sistem. Stările fiecărui modul sunt monitorizate în timp real și, în funcție de acestea, decizii cu privire la locațiile de unde se vor ridica sau lăsa piese sunt luate. Algoritmul de decizie, în cazul în care dorim să luăm o piesă dintr-o stație, în vederea transportării acesteia către următoarea stație se bazează pe ordine și este prezentat în mai jos. Pentru celelalte stații procesul este similar, adăugându-se mai multe condiții pentru determinarea scopului deplasării, dacă e pentru a ridica piesa sau pentru a o lăsa.

Algoritmul 4.1 Calcularea următoarei mișcări

```

1: Intrări: conveyorState, drillingState, pickedOk
2: Ieșiri: nextOrder
3: if conveyorState = Ready
4:     AND drillingState = Empty
5:     AND pickedOk = true
6:     AND nextOrder = noOrder
7: then
8:     nextOrder ← pickConveyorOrder
9: end if
10: return nextOrder

```

Comunicarea dintre *plc* și robotul fizic se face prin intermediul unor semnale digitale și analogice. Funcția *FB_Robot* comunică cu robotul fizic prin intermediul acestor semnale descrise în fișierul *ESI*. Pentru a anunța robotul că o piesă este gata într-un anumit modul, o variabilă de tip *boolean* se face *true*. Robotul citește acea variabilă și știe

că trebuie să meargă în poziția aferentă. În momentul în care acesta ajunge în poziția respectivă, semnalează *plc*-ul prin intermediul unei variabile *boolean* că a ajuns. *Plc*-ul dă permisiunea că poate să ridice piesa, acesta o ridică, anunță și pornește către următorul modul.

Aplicația dispune de două moduri principale:

- *Automat*: În modul automat tot procesul se desfășoară independent, fără a fi nevoie de intervenția din afară asupra lui și este pornit prin intermediul unei interfețe grafice;
- *Reset*: În modul reset, atunci când este activat, robotul așteaptă ca piesele din fiecare stație să fie procesate, iar mai apoi le preia și le transportă într-o locație intermediară. De asemenea, el este pornit prin intermediul interfeței grafice;

În cadrul acestei funcții, pentru o calitate ridicată a aplicației, am ales să folosesc variabile de tip *flag*. Acestea sunt predefinite în mediul de programare *Twincat 3*. Principalele *flag*-uri folosite sunt *SFCInit*, *SFCReset*, *SFCError*, *SFCCurrentStep*. *SFCInit* este o variabilă de tip *boolean* care atunci când devine adevărată, diagrama *SFC* corespunzătoare funcției bloc în care *flag*-ul a fost declarat trece în pasul de inițializare și rămâne blocată acolo, iar toate celelalte *flag*-uri sunt resetate. Procesul se reia din pasul de început în momentul dezactivării variabilei. *SFCReset* se bazează pe același principiu, exceptând partea de blocare a procesului. El doar duce sistemul în pasul de început. Pentru o bună funcționalitate a codului se obișnuiește ca pe *step*-urile dintr-o diagramă *SFC* să se introducă limite de timp, minime și maxime. Dacă aceste limite sunt trecute sau avem o pauză în sistem, o variabilă de tip *SFCError* se activează. Odată activată, ea trebuie resetată dacă dorim să ne putem folosi din nou de ea. *SFCCurrentStep*, după cum îi spune și numele, este o variabilă de tip *string* ce ține minte numele *step*-ului activ la un moment de timp. Totuși, atunci când avem ramuri paralele, se afișează mereu numele pasului cel mai din dreapta.

4.1.4 Crearea unei vizualizări în Twincat 3

Pentru a facilita înțelegerea programului conceput, am ales să creez o vizualizare care să reprezinte cu exactitate ceea ce se petrece în proces. Ea conține două led-uri pentru fiecare mod în parte, *automat* și *reset* și încă unul aferent funcției de optimizare a procesului. Acestea sunt aprinse dacă variabilele *boolean* corespunzătoare sunt adevărate și sunt stinse în caz contrar. Mai conține șase indicatoare pentru fiecare instanță de stație. Ele ne arată *step*-ul activ al fiecărui modul. Atunci când o piesă este gata pentru a fi ridicată într-o anumită stație, culoarea indicatorului devine verde. Poziția robotului este indicată printr-o săgeată deasupra fiecărui indicator de stare aparținând unei stații. Interfața vizualizării poate fi observată în figura 4.20. Ea conține și două imagini reprezentative și un indicator pentru numărul de componente realizate de-a lungul funcționării procesului. Adăugarea acestor componente a fost făcută prin intermediul *toolbox*-ului pus la îndemână de către dezvoltatorul programului *Twincat 3*.

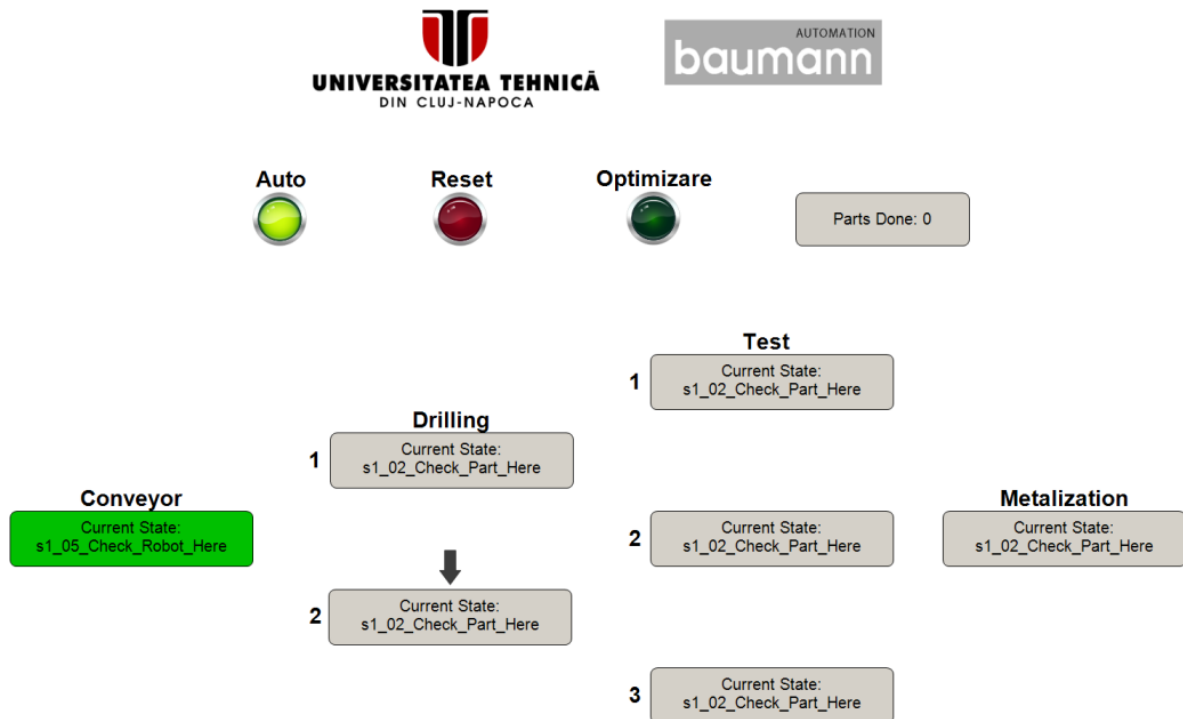


Figura 4.20: Interfață grafică Twincat 3

Variabilele folosite pentru controlul afișării acestei vizualizări se actualizează la un timp de ciclu de aproximativ 200 ms datorită existenței unui *task* separat de *task*-ul principal al aplicației, pe care aceasta rulează. Prioritatea acestuia este, bineînțeles, mai mică decât prioritatea *task*-ului principal.

Crearea unei vizualizări se face dând *click* dreapta pe directorul de care dorim ca aceasta să aparțină *Add->Vizualization*. Mai departe dăm un nume reprezentativ și bifăm căsuța corespunzătoare instalării librăriei necesare pentru a dispune de obiecte vizuale predefinite (led-uri, butoane, casete text etc.), iar mai apoi apăsăm *Open* precum în figura 4.21.

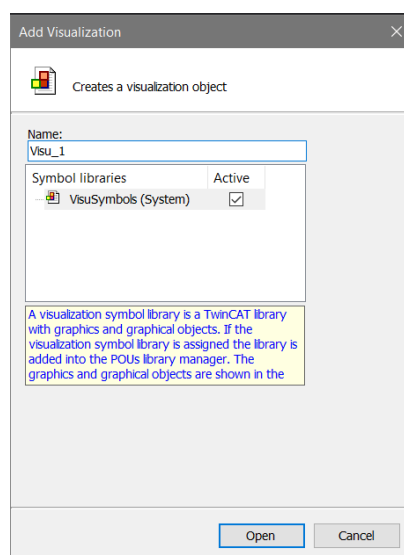


Figura 4.21: Crearea unei vizualizări în Twincat 3

Odată cu crearea unei vizualizări, se creează și un *Vizualization Manager*, care este responsabil cu setările generale pentru toate obiectele de tip vizualizare. Vizualizarea poate fi de trei tipuri, în funcție de locul în care rulează: Vizualizare *integrată*-pe computerul pe care aceasta a fost creată, *PLC HMI*-pe un computer terț, *PLC HMI Web*- în *browser*. Toate obiectele folosite în cadrul interfeței sunt declarate în standardul *IEC6131-3* ca fiind funcții bloc. Pentru ca vizualizarea să ruleze pe un computer terț sau pe *web*, dăm click dreapta pe managerul de vizualizări și selectăm *TargetVisualization* pentru primul mod, iar *WebVisualization* pentru cel de al doilea. Indiferent de cazul ales, numele vizualizării create trebuie adăugat în secțiunea *Start Visualization*. Totodată putem alege dacă interacțiunea cu obiectele din vizualizare să se facă prin intermediul unui ecran tactil sau prin intermediul tastaturii.

4.1.5 Erori întâlnite în decursul implementării

Erorile prezentate în figura 4.22 apar datorită configurării greșite a proprietăților de timp real atunci când aplicația este rulată local, dar nu numai. Rezolvarea lor constă în efectuarea unei scanări a numărului de miezuri ale procesorului și configurarea unui miez izolat pe care *task*-urile aplicației să activeze, în cazul în care aplicația rulează local.

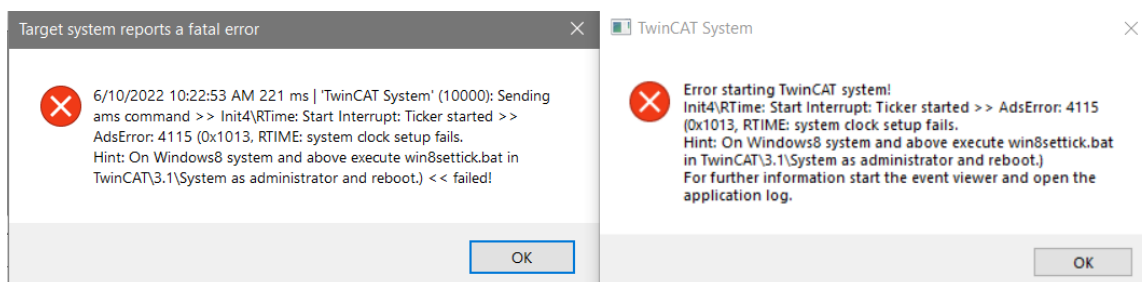


Figura 4.22: Eroare Target System

Eroarea din figura 4.23 apare în momentul în care noi am configurat un dispozitiv *EtherCAT master*, dar în rețeaua noastră nu există unul fizic. Rezolvarea acestei erori constă în dezactivarea dispozitivului dând *click dreapta->Disable* atunci când lucrăm local și evident nu avem un *master* sau prin adăugarea lui fizic.

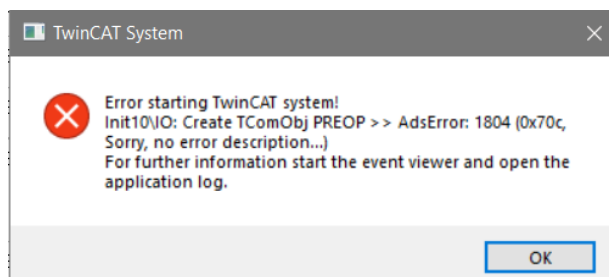


Figura 4.23: Eroare lipsă master

4.2 Crearea și configurarea aplicației în *Stäubli Robotics Suite*

Deoarece avem nevoie de o mișcare mai complexă a robotului, programarea acestuia nu poate fi făcută prin intermediul *pendant*-ului. Prin urmare, tehnica de programare offline discutată în capitolul anterior trebuie aplicată. Aceasta se face

folosindu-ne de un mediu de dezvoltare integrat(IDE) numit *Stäubli Robotics Suite* în care scrierea codului aferent se face în limbajul *VAL3*.

Crearea unui program nou se face accesând meniul *File->New->New Cell Wizard*. Acolo dăm un nume aplicației și selectăm directorul în care se salvează. Următorul pas este configurarea controlerului, iar pentru asta selectăm *Add a local controller*. În continuare se va deschide o interfață precum cea din figura 4.24 în care trebuie să configurăm brațul de robot cu care vom lucra. Aici alegem familia și modelul, modul în care se va face prinderea, în cazul nostru pe podea, dacă dorim să dispunem de un model 3D sau doar 2D, tipul de efector final, lungimea și diametrul *joint*-ului 3 și câteva detalii referitoare la mediul în care acest robot va lucra. După ce am selectat toate aceste aspecte și apăsăm *Next*, se va deschide o interfață în care trebuie să selectăm tipul de controler cu care acest braț va lucra și să-i dăm un nume. Ultima interfață deschisă în crearea programului ne arată tipul de braț robotic și tipul de controler selectate, împreună cu configurațiile fiecăruia.

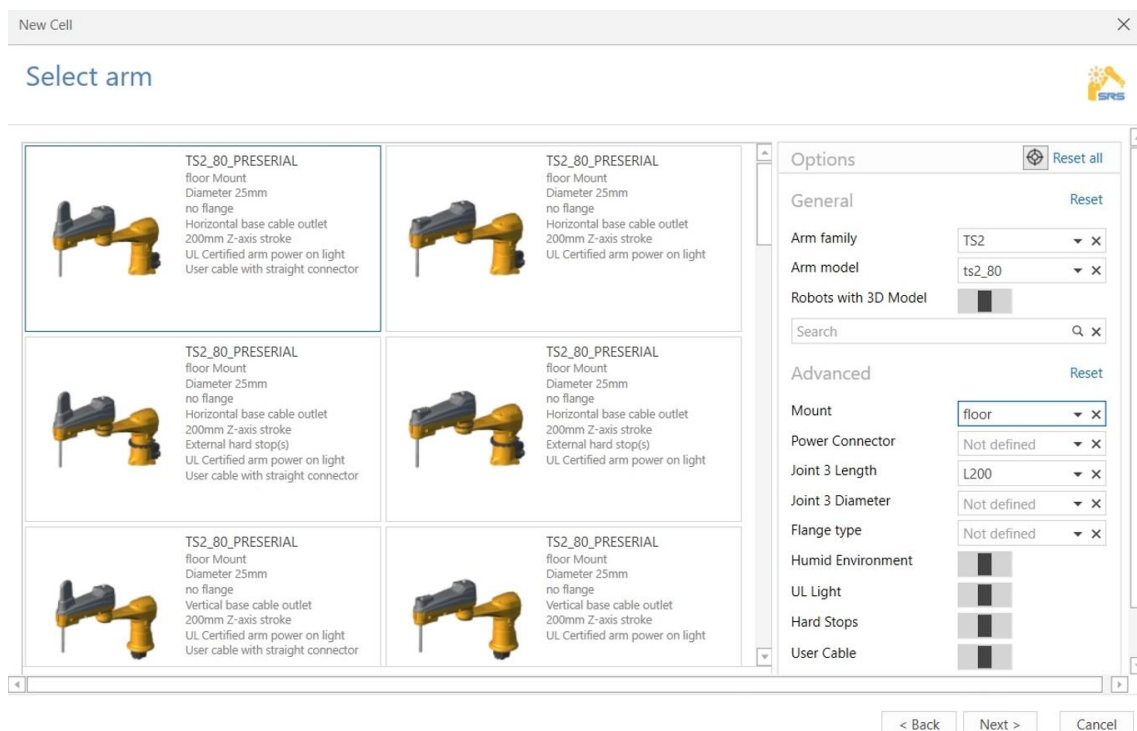


Figura 4.24: Configurarea brațului robotic TS2-80

Structura programului va arăta ca în figura 4.25. Pentru a crea o aplicație în limbajul *VAL3*, se va da *click* dreapta pe *Controller1->New Application* sau se va folosi *shortcut*-ul *CTRL+N+A*. Acolo selectăm numele fișierului și directorul în care dorim să se salveze. Programul va conține două funcții principale *start* și *stop*, un *tab* de referințe și un *tab* pentru crearea unei interfețe grafice.

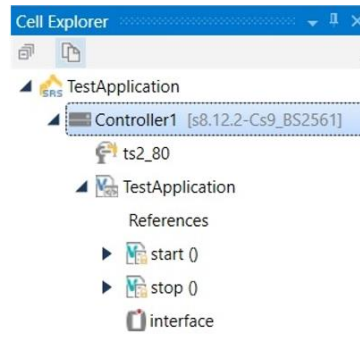


Figura 4.25: Structura programului în Stäubli Robotics Suite

Adăugarea unei funcții noi se face dând *click* dreapta pe aplicația principală apoi pe *Add->New Data* sau prin intermediul *shortcut*-ului *CTRL+N+P*. Fiecare funcție conține o secțiune de parametri și una de variabile locale. Parametrii pot fi considerați ca fiind intrări și ieșiri, iar variabilele locale sunt variabile utilizate strict în funcția respectivă. Apelarea funcției se face utilizând instrucțiunea “*call*”, urmată de numele acesteia. Funcțiile *start/stop* sunt două funcții rulate de *task*-uri cu priorități mari. În *start* se configurează logica aplicației, se descriu mișcări și se apelează alte funcții ce dorim să ruleze în momentul lansării în execuție al programului. Aceasta este apelată automat în momentul în care o rulăm. Funcția *stop* este apelată automat în momentul opririi aplicației.

4.2.1 Comunicația cu *plc*-ul

Pentru a realiza comunicația dintre *plc* și robot, mai întâi robotul trebuie configurat ca *slave* în rețeaua *EtherCAT*. Acest lucru se face accesând meniul *Physical IOs* din meniul principal și selectarea *tab*-ului *Add IO board*. Acest lucru duce la configurarea portului *J207/J208* precum în figura 4.26

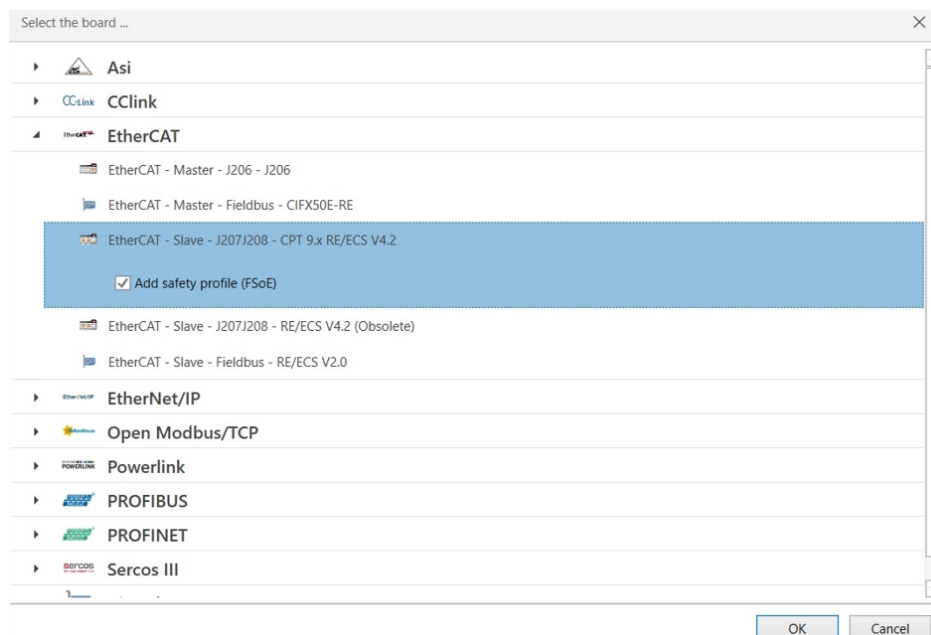


Figura 4.26: Configurarea portului *J207/J208* din controlerul *CS9*

În interiorul aplicației, pentru a avea acces la semnalele digitale și analogice trimise din *Twincat 3*, dar și pentru a trimite la rândul nostru semnale către *plc*, trebuie să declarăm date de tip *dio* pentru semnale digitale, respectiv *aio* pentru semnale analogice. Aceste sunt legate mai departe de intrările/ieșirile fizice, prin intermediul fișierului *ESI*. Un exemplu de astfel de legătură este prezentat în figura 4.27, unde variabilele *bit_OUTPUT* sunt legate de ieșiri.



CPT 9.x RE/ECS V4.2		J207/J208		
Digital Inputs				
Digital Outputs				
%Q0	1 Byte In (0)_Byte_0_Bit_0	7868094F-5E99-4F5A-ABAF-A6A23A3E68F6		Test : bit_OUTPUT[0]
%Q1	1 Byte In (0)_Byte_0_Bit_1	0A927D23-8CF8-45AF-AF64-AD9B2F2E35EE		Test : bit_OUTPUT[1]
%Q2	1 Byte In (0)_Byte_0_Bit_2	B076698B-4656-4FD6-9D67-4239363CAAC5		Test : bit_OUTPUT[2]
%Q3	1 Byte In (0)_Byte_0_Bit_3	E655BC3C-86F9-4B53-8374-E80A9A259E0E		Test : bit_OUTPUT[3]
%Q4	1 Byte In (0)_Byte_0_Bit_4	55C7B488-E904-49BC-8D14-61D225CED488		Test : bit_OUTPUT[4]
%Q5	1 Byte In (0)_Byte_0_Bit_5	918F5F2A-A2E1-4E55-803E-01BD34FDBC80		Test : bit_OUTPUT[5]
%Q6	1 Byte In (0)_Byte_0_Bit_6	5BF241EE-2908-421C-8698-25816C579FA6		Test : bit_OUTPUT[6]
%Q7	1 Byte In (0)_Byte_0_Bit_7	B522EFC0-FD25-4DF9-AD09-4D00C9E28FFE		Test : bit_OUTPUT[7]
Analog Inputs				
Analog Outputs				

Figura 4.27: Legătura dintre variabile și intrări/ieșiri din programul *Stäubli Robotics Suite*

Citirea și scrierea variabilelor de acest fel se realizează prin folosirea funcțiilor *aioGet*, *aioSet* în ceea ce privește semnalele analogice. Semnalele digitale pot fi stocate în memorie prin atribuirea variabilei *dio* unei variabile *boolean* folosind operatorul “=”. Scrierea acestuia se realizează la fel, prin atribuirea valorii 0/1 sau *false/true* variabilei *dio*.

4.2.2 Interfața grafică din cadrul *Stäubli Robotics Suite*

Pentru o ușoară manevrabilitate a programului, am ales să creez o interfață grafică ce o să fie afișată pe ecranul pendantului de instruire al robotului în momentul rulării aplicației. Interfața dispune de cinci butoane: *Start*, *STOP*, *Reset*, *On/Off* (pentru funcția de optimizare) și *Exit*. Acestea au fost adăugate folosind *toolbox*-ul conținut în programul *Stäubli Robotics Suite* ce se bazează pe *Html*, *CSS* și *JavaScript*. Butonul de *Start* este responsabil pentru modul automat. Odată apăsător, stațiile descrise în subcapitolul anterior se inițializează, iar procesul pornește. Opusul acestuia este butonul de *STOP*, care odată activat oprește tot sistemul, nu doar mișcările robotului. Butonul de *Reset* modifică mișcarea robotului, acesta transportând piesele într-o locație adiacentă și apoi deplasându-se într-un punct implicit, după care procesul se oprește. Pentru a observa mai bine în ce constă termenul de optimizare, am ales să adaug un buton prin care putem activa/dezactiva funcția, în vederea fizică a diferențelor și beneficiilor. Butonul de *Exit* oprește aplicația robotului.

Aceste butoane sunt legate de variabile din program trimise mai apoi prin *EtherCAT* către variabilele din *Twincat 3*. Un *task* pe care această interfață rulează este responsabil cu modificarea și transmiterea parametrilor într-un timp util. Am mai adăugat două imagini reprezentative și o etichetă pentru explicarea funcționalității unui buton. Toate aceste elemente sunt încadrate în interiorul unei rame, pentru a putea păstra dimensiunile și pozițiile corecte.

Interfața grafică este prezentată în figura 4.28.



Figura 4.28: Interfață grafică Stäubli Robotics Suite

4.2.3 Învățarea pozițiilor robotului prin intermediul *pendant-ului*

Pentru a reprezenta cât mai intuitiv modul prin care pozițiile robotului pot fi învățate prin intermediul *pendant-ului*, am ales să mă folosesc de emulatorul pus la dispoziție de *software-ul* folosit pentru programarea acestuia. O imagine reprezentativă o constituie figura 4.29, în care dispunem de șase *tab-uri*.

Tab-ul VAL3 cuprinde o metodă de acces asupra memoriei controlerului în care sunt stocate aplicațiile scrise. Din acest *tab* putem rula diferite aplicații, dar le putem și modifica. În același timp, în momentul în care un program rulează, putem observa numele, starea și prioritatea fiecărui *task*. Putem să îl activăm/dezactivăm, să îl oprim și chiar să vedem ce linie de cod este în executare la un moment în timp.

Tab-ul IO conține interfața de acces asupra intrărilor și al ieșirilor disponibile. De aici putem configura și observa modurile de comunicare, putem citi valori ale sistemului precum temperaturi ale procesoarelor sau a diferitelor componente ale controlerului, starea axelor brațului, frâne active și bineînțeles intrările și ieșirile aplicației.

În *tab-ul Robot* dispunem de câteva unelte pentru calibrarea robotului sau înregistrarea unei mișcări în vederea analizării ei. De aici avem acces asupra informațiilor din sistem precum versiunea robotului, modul în care s-a făcut prinderea,

modul în care este adăugat în rețea(*EtherCAT slave*) sau chiar limitele de mișcare în care poate opera în condiții de siguranță.

În *Settings* putem modifica limba afișată, data și ora sistemului sau alte aspecte în ceea ce privește profilul sau rețeaua.

În *Logger* sunt afișate informații, erori și mesaje de avertizare cu privire la sistem. Acesta poate fi exportat pe un computer și folosit mai târziu pentru analiză.

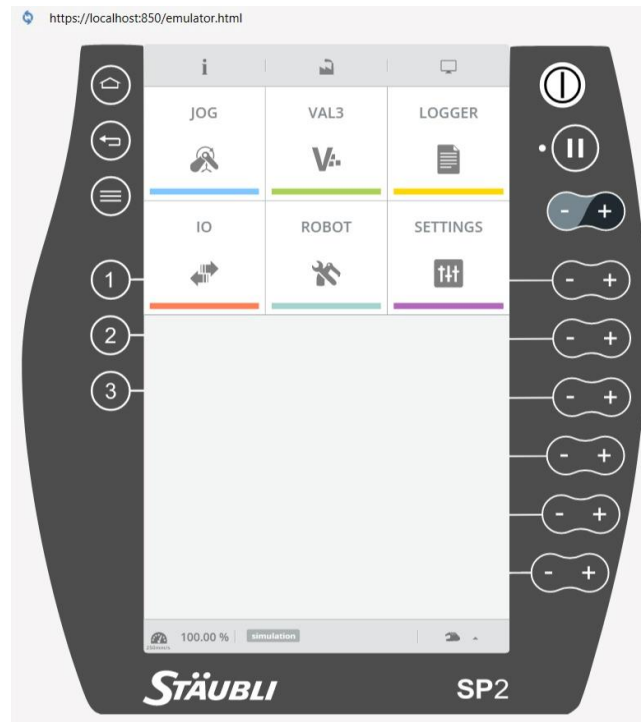


Figura 4.29: Interfața pendant-ului de programare al robotului

Secțiunea *Jog* cuprinde informații referitoare la direcția de rotație a axelor. De aici putem adăuga/șterge puncte, *end-effectori* și putem configura spațiul de lucru. Primul pas în învățarea unui punct este crearea acestuia în interiorul aplicației. Acest lucru poate fi făcut prin intermediul mediului de dezvoltare integrat VAL3 sau prin intermediul *pendant*-ului. Pentru a folosi *pendant*-ul, aplicația trebuie descărcată local, precum în figura 4.30.



Figura 4.30: Descărcarea și rularea aplicației pe robotul fizic

Următorul pas este accesarea *tab*-ului *Jog* și selectarea aplicației căruia dorim să-i aducem modificări. După selectare, o să ne apară toate punctele declarate în program. Pentru a adăuga unul nou apăsăm pe butonul de plus disponibil, introducem un nume, o dimensiune, dacă să fie public sau privat și selectăm *Ok*. Fie că a fost adăugat prin

intermediul *pendant*-ului sau prin intermediul mediului de dezvoltare VAL3, coordonatele se modifică selectând punctul și apăsând butonul din figura 4.31.

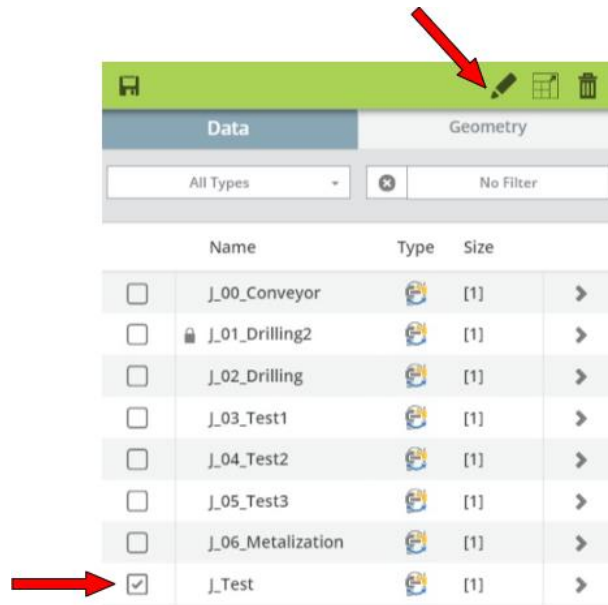


Figura 4.31: Modificarea coordonatelor unui punct prin intermediul pendant-ului

În continuare se va deschide o interfață precum cea din figura 4.32, în care coordonatele actuale ale poziției robotului pot fi memorate în variabila punct declarată. Apăsăm *Ok*, iar mai apoi salvăm.

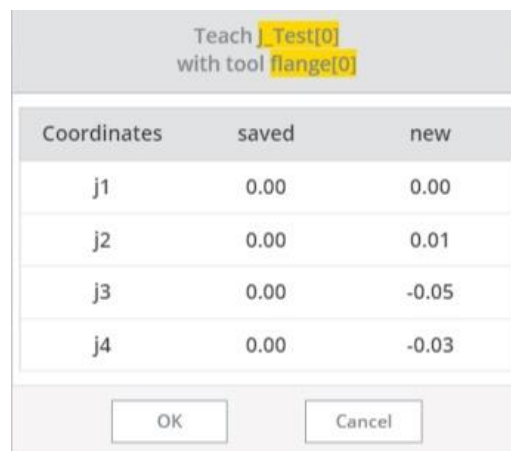


Figura 4.32: Memorarea coordonatelor poziției robotului

Odată adăugate, punctele sunt gata pentru a fi folosite. Acestea se vor modifica, iar noile coordonate vor fi disponibile și în mediul de programare VAL3.

4.3 Problema de optimizare a secvenței de mișcări a robotului

Pentru a oferi o descriere cât mai amplă și mai precisă asupra unui astfel de proces destul de întâlnit în practică și a modului în care el poate fi îmbunătățit, noțiunea de optimizare a trebuit luată în calcul încă din momentul conceperii aplicației. Scopul principal al acesteia este realizarea unei piese sau componente într-un timp cât mai scurt posibil, fără adăugare de echipament *hardware* în plus. Deoarece stațiile sunt

simulate, acestea sunt reprezentate de puncte în spațiu. În figura 4.33 poate fi observat cadrul de lucru aferent aplicației văzut de sus. Aceasta conține limitele de deplasare ale robotului, coordonatele fiecărei stații și traseele de deplasare de la o stație la alta.

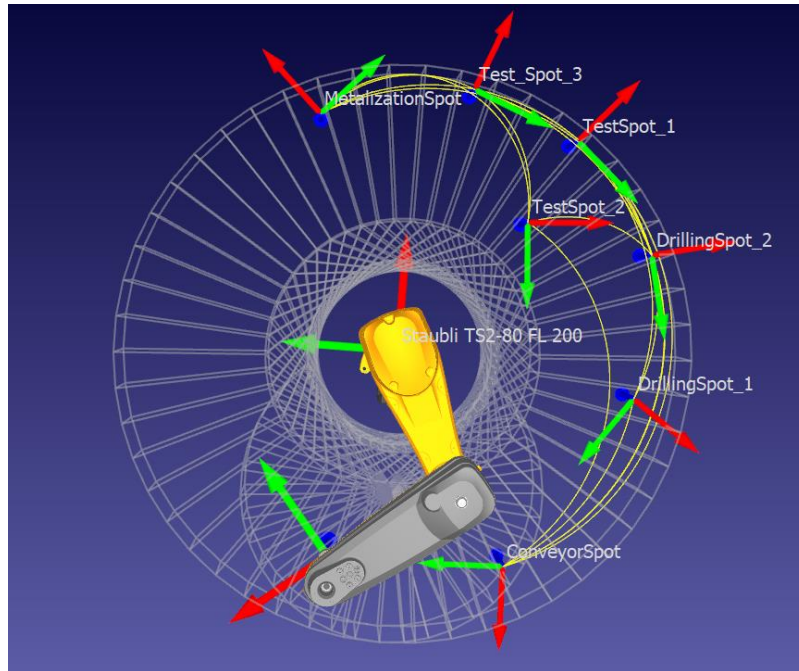


Figura 4.33: Reprezentarea 2D văzută de sus a spațiului de lucru

Pentru a crea o mică corelație între o stație reală și stația simulată, am ales ca punctele de ridicare respectiv de plasare a componentelor să difere. Astfel le-am declarat la înălțimi diferite, fapt observabil în figura 4.34. Atunci când robotul ajunge în *SignalPoint*, stația este anunțată că robotul a ajuns în drept cu ea. În cazul acțiunii de ridicare, dacă piesa este gata, aceasta poate fi luată din *PickPoint*, iar în cazul plasării, aceasta poate fi lăsată în *PlacePoint*.

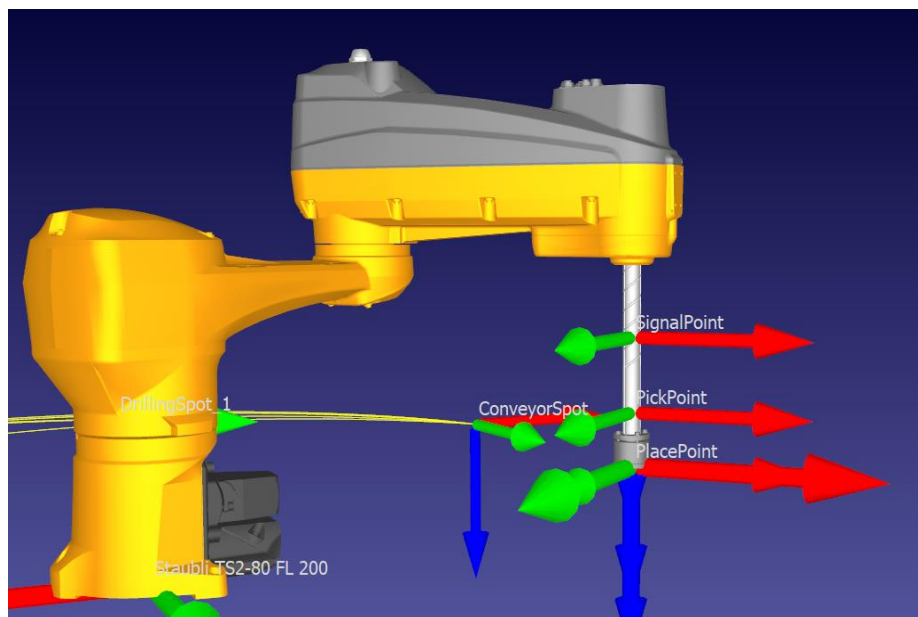


Figura 4.34: Reprezentarea 3D a locațiilor de ridicare/plasare a pieselor

Primul aspect care a trebuit luat în calcul în ceea ce privește partea de optimizare a fost alegerea limbajului de programare. Deși fiind cel mai rapid datorită asemănării de sintaxă cu codul mașină, *Instruction List* este un limbaj nerecomandat în standardul *IEC-61131*. Următorul limbaj din listă, în ceea ce privește viteza, este *Structured Text(ST)*. Datorită capabilităților de portare, manipulare de date complexe și implementare a programării orientate pe obiecte, am ales să folosesc acest limbaj în dezvoltarea aplicației. Pentru a crea o logică bazată pe mașini de stare (engl. *State Machines*), pentru simplitatea înțelegerii codului, dar și a obiectelor create, am ales să folosesc *Sequential Function Chart(SFC)*. Pentru ambele alegeri, codul se execută de sus în jos, de la stânga la dreapta. Acest aspect este important pentru a evita scanarea secțiunilor de cod ce nu sunt executabile. De aceea, într-o diagramă *SFC*, acțiunile ce au cea mai mare rată de execuție sunt puse cel mai sus și cel mai în dreapta posibil. De asemenea, în cazul utilizării, spre exemplu, a unei instrucțiuni *CASE* în *ST*, secțiunile de cod executabile de cele mai multe ori sunt puse primele. Acest lucru, deși nu pare destul de important în zilele noastre datorită puterii de calcul a procesoarelor contemporane, poate salva procesul de câteva μs .

Un al doilea aspect în ceea ce privește scăderea timpului de execuție, este prioritizarea codului important. Pentru asta am ales ca logica aplicației să ruleze de 20 de ori mai repede decât actualizarea interfețelor grafice. Secțiunile de cod ce nu necesită rulare continuă sau sunt executate pentru inițializarea diferitelor componente, sunt executate doar în momentele potrivite, datorită condițiilor de oprire ce împiedică scanarea lor.

Ținând cont de aceste detalii, implementarea aplicației poate fi realizată. Pentru a prezenta un mod de concepere al acestor aplicații, o să mă folosesc de următoarele notații:

- *SCT* : *Station Cycle Time* sau timpul de ciclu al unei stații;
- *DT* : *Distance Time* sau timpul de deplasare al robotului;
- *ADT* : *Adjacent Distance Time* sau timpul de deplasare al robotului în punctul adiacent;
- *RADT* : *Return Adjacent Time* sau timpul de deplasare al robotului către stație din poziția adiacentă;
- *PCT* : *Process Cycle Time* sau timpul necesar prelucrării piesei;

Cel mai rău caz într-o astfel de problemă, în care mai multe operații sunt executate asupra aceleiași piese, dar nu simultan, este cazul în care operațiile se execută câte una pe rând. În această situație, timpul necesar executării întregului proces este format din suma timpilor de ciclu ai fiecărei stații plus suma timpilor necesari deplasării de către robot a componentei de la o stație la alta plus timpul necesar deplasării robotului într-o poziție adiacentă, în vederea eliberării spațiului de lucru ca procesul să poată începe plus timpul necesar deplasării robotului din poziția adiacentă în zona de lucru a stației pentru a ridica piesa. Relația este:

$$PCT = SCT + DT + ADT + RADT \quad (4.1)$$

O primă îmbunătățire ce poate fi efectuată asupra acestei abordări este eliminarea punctului adiacent. Prin urmare, toate deplasările efectuate pentru a elibera spațiul de lucru sunt eliminate. Totuși, avem nevoie de o strategie de evitare a zonei de lucru după ce piesa a fost plasată, iar prin urmare, punctul adiacent eliminat anterior se transformă de fapt în câte un punct adiacent asociat fiecărei stații. Exemplificând acest concept pe figura 4.34, punctul adiacent aferent fiecărei stații îl reprezintă orice poziție a axei 3, deasupra punctului *SignalPoint*. Pe scurt, atunci când axa 3 se află deasupra punctului *SignalPoint*, indiferent de poziția celorlalte axe, procesul poate începe și se consideră că se efectuează în condiții de siguranță.

Totuși, cea mai mare eficientizare a procesului o reprezintă disponibilizarea modulelor, imediat după ce piesa a fost înlăturată. În cazul anterior, o piesă nouă nu putea intra în proces, decât după ce piesa anterioară era trecută prin toate stațiile. În acest caz, după eliberarea fiecărui modul, el devine disponibil pentru a primi următoarea piesă. Prin urmare, dacă notăm cu M numărul de instanțe de stații, putem avea M piese la un moment de timp în proces.

Deoarece aplicația constă în comunicarea continuă dintre *plc* și robot, ea trebuie să se realizeze cât mai simplu și mai eficient. Pentru asta, mișcările robotului sunt comandate prin intermediul unor biți de control transmiși doar la nevoie de mișcare, nu continuu. Un exemplu de comunicare este reprezentat în figura 4.35.

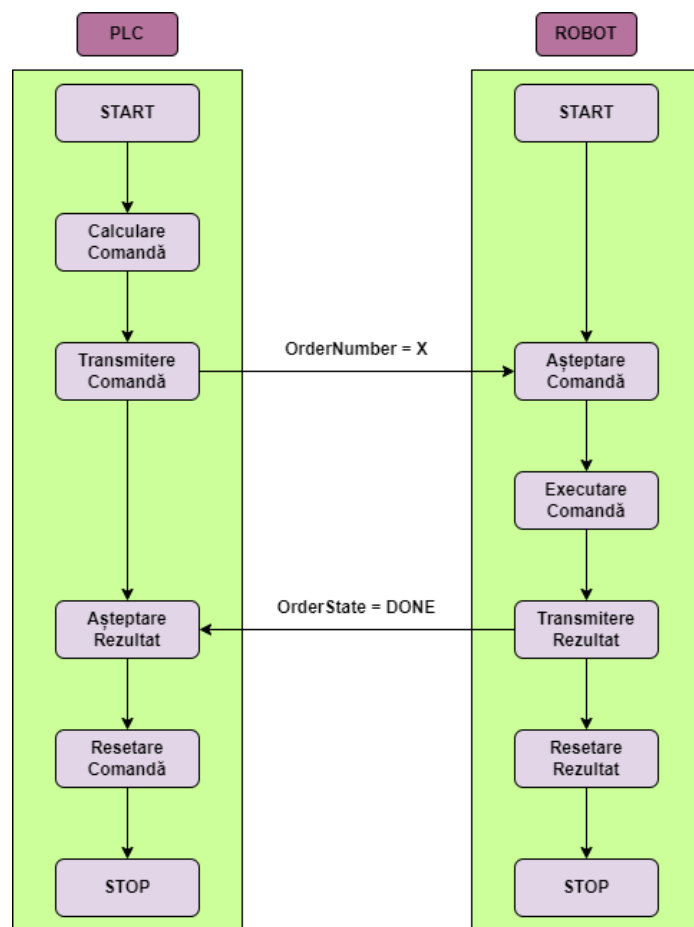


Figura 4.35: Principiul de comunicare dintre *plc* și robotul Stäubli

4.3.1 Optimizarea adaptivă a secvenței de mișcări a robotului

Ultima, dar și cea mai importantă parte în ceea ce privește optimizarea unui astfel de proces o reprezintă optimizarea adaptivă. În acest caz, termenul de optimizare se referă la integrarea pe cât de mult posibil a timpilor necesari deplasării brațului robotic, în vederea mutării unei piese de pe o stație pe alta, sincron cu timpul necesar prelucrării acesteia. Termenul de adaptiv constă în independabilitatea eficientizării procesului în contrast cu variația parametrilor externi ai stațiilor sau ai robotului. Un exemplu îl reprezintă defectarea unei stații sau variația timpului procesului care are loc în cadrul ei.

După cum am explicat și în capitolul de introducere, *plc*-ul interacționează cu robotul prin intermediul unui mod de comunicare bazat pe ordine. Problema de optimizare constă în estimarea unui ordin sau a unei poziții de ridicare viitoare a robotului înainte ca acestea să fie transmise. Pentru a putea fi rezolvată, problema trebuie mai întâi formulată, iar pentru asta am ales să mă folosesc de următoarele notații:

- Există R un singur robot ce poate muta piese dintr-o stație în alta;
- Există $N = \{n_0, n_1, n_3, n_4\}$ un set de tipuri de stații posibile;
- Există $M \geq N$, $M = \{m_0, m_1, m_2, m_3, m_4, m_5, m_6\}$ un set de instanțe de stații posibile;
- Există un timp de tranziție x de la fiecare componentă a setului M la o altă componentă a setului M , inclusiv de la o stație la ea însăși, timpul fiind 0;

$$Tm_{ij} = x \quad (4.2)$$

$$i \leftarrow 0:M, j \leftarrow 0:M$$

- Fiecare componentă a setului M are o durată de efectuare variabilă, unde t reprezintă durata de efectuare;

$$tm_i = x \quad (4.3)$$

$$i \leftarrow 0:M$$

- Există o ordine a operațiilor ce trebuie efectuate, iar stațiile nu pot fi sărite;

$$m_0 \rightarrow m_1, m_2 \rightarrow m_3, m_4, m_5 \rightarrow m_6 \quad (4.4)$$

- Stația m_0 reprezintă o stație generator, iar stația m_6 o stație terminală;
- Chiar dacă stațiile sunt simulate, iar timpul lor l-am setat atunci când aplicația a fost creată, pentru partea de optimizare timpul de procesare reprezintă o necunoscută. Prin urmare acesta trebuie măsurat;

Primul pas în rezolvarea problemei a fost aflarea tuturor necunoscutelor din acest sistem. Acestea sunt Tm_{ij} și tm_i sau timpul de deplasare de la o stație la alta și timpul de procesare al unei piese aferent fiecărei stații. Pentru aflarea timpului de deplasare, a trebuit să mă gândesc la un mod de a automatiza acest proces, fără a calcula fiecare distanță manual(49 în total). Pentru asta, în interiorul aplicației, mi-am creat o funcție de măsurare ce este activată în momentul startării deplasării robotului, adică în momentul trimiterii unui ordin. Algoritmul acestei funcții este prezentat în cele ce urmează.

Algoritm 4.2 Calcularea timpului de deplasare între două stații

```

1: Intrări: state                                {variabilă boolean}
2: Ieșiri: timePassed                            {variabilă de tip time}
3: rTrigger.CLK  $\leftarrow state$                   {inițializare trigger pe front crescător clock=true}
4: if rTrigger = ON then
5:     startTime  $\leftarrow currentTime$ 
6: end if
7: fTrigger.CLK  $\leftarrow state$                   {inițializare trigger pe front descrescător}
8: if fTrigger = ON then
9:     timePassed  $\leftarrow currentTime - startTime$ 
10: end if
11: return timePassed

```

Practic același semnal trimis către robot în vederea pornirii mișcării este trimis și către funcția de calculare al distanței. Primind acest semnal *boolean*, *trigger*-ul se activează, iar timpul curent este memorat în variabila *startTime*. Atunci când robotul ajunge în punctul dorit, trimite un semnal către funcție tot prin intermediul aceleiași variabile *boolean*. *Trigger*-ul se activează din nou și se calculează diferența de timp dintre timpul curent și *startTime*. Diferența o reprezintă timpul de mișcare.

Același principiu este aplicat și pentru aflarea timpilor de execuție al fiecărei stații. În momentul în care robotul plasează o piesă într-un modul și se ridică într-un punct sigur discutat în secțiunile anterioare, un *trigger* pe front crescător este activat și timpul curent este salvat. Atunci când piesa este gata, *trigger*-ul pe front descrescător este activat, iar diferența de timp este calculată și returnată, ea reprezentând timpul de execuție al stației.

Având la dispoziție toate aceste date, prima strategie de optimizare poate fi aplicată. Ea constă în monitorizarea continuă a timpilor tuturor stațiilor din proces. Atunci când robotul plasează o componentă într-un anumit modul, un timer este activat. În momentul în care robotul este în starea de inactiv, consultă timpul rămas în toate stațiile din jur și se deplasează în imediata apropiere, deasupra punctului de *SignalPoint*, a stației unde timpul rămas este cel mai scurt. Când ordinul de ridicare este receptat de robot, mișcarea este una minimă. Datorită timpilor stațiilor care sunt variabili, această estimare nu este întotdeauna una corectă. În urma testelor efectuate, am ales să creez un nou *task* cu o prioritate mai mică decât *task*-ul principal pe care această funcție de optimizare să ruleze. Pe durata mișcării executate de către robot în urma semnalării unei noi estimări din partea funcției, dacă un ordin nou, diferit de cel în execuție, este semnalat, robotul se va deplasa urmând comanda cu prioritatea cea mai mare.

Această abordare poate fi însă îmbunătățită prin adăugarea în ecuație a timpilor de deplasare. Să presupunem următorul exemplu prezentat în figura 4.36. Avem două stații, *Module 1* și *Module 2* cu timpul estimat (în funcție de media timpilor de ciclu) de terminare aferent, 7 pentru *Module 1* și 9 pentru *Module 2* (unitatea de măsură nu este relevantă atâta timp cât scara este aceeași pentru toate mărimile) și un robot *Robot*. Pe desen sunt trecuți timpii necesari deplasării pentru fiecare stație, 15 pentru *Module 1* și 5 pentru *Module 2*. Aplicând algoritmul conceput anterior, bazat pe timpul de terminare al fiecărei stații, robotul va fi comandat să meargă la modulul care va fi gata primul, adică *Module 1*. Făcând un calcul simplu, putem observa că în momentul estimării

următoarei mișcări, plecând din timpul curent, adică 0, vom ajunge în dreptul modulului 1 la timpul 15, iar piesa va fi gata. Calculând pentru stația 2, plecând tot din timpul 0, constatăm că ajungem în dreptul ei la timpul 5 și mai așteptăm 4 timpi ca piesa să fie gata, în total 9. Se dovedește astfel că dacă luăm în calcul și timpii necesari deplasării, estimarea bazată doar pe timpul de terminare al stațiilor nu va fi mereu cea mai eficientă.

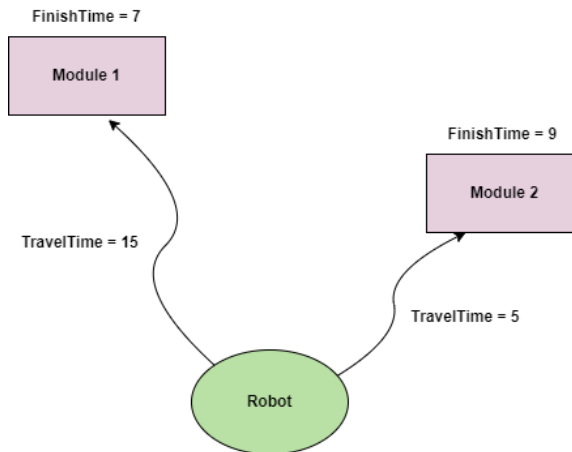


Figura 4.36: Exemplu de îmbunătățire al aplicației

Această strategie poate fi aplicată prin intermediul unui graf orientat în care nodurile sunt reprezentate de stații, iar muchiile reprezintă costul aferent, în timp, asociat fiecărei deplasări. Graful acestei aplicații poate fi observat în figura 4.37.

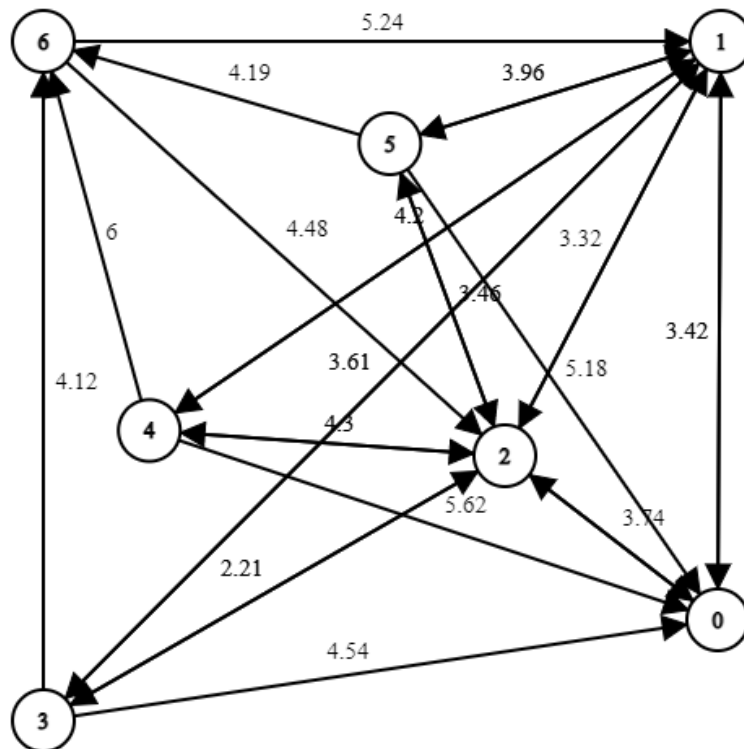


Figura 4.37: Graful orientat al aplicației

Matricea de cost aferentă grafului este:

$$\begin{matrix}
 & Cnv & Drl1 & Drl2 & Tst1 & Tst2 & Tst3 & Mtz \\
 \begin{matrix} Cnv \\ Drl1 \\ Drl2 \\ Tst1 \\ Tst2 \\ Tst3 \\ Mtz \end{matrix} & \begin{bmatrix} 0 & 3.42 & 3.74 & X & X & X & X \\ 3.42 & 0 & 3.32 & 3.61 & 4.2 & 3.96 & X \\ 3.88 & 3.5 & 0 & 2.21 & 4.3 & 3.46 & X \\ 4.54 & 3.61 & 2.21 & 0 & X & X & 4.12 \\ 5.62 & 4.2 & 4.3 & X & 0 & X & 6 \\ 5.18 & 3.96 & 3.46 & X & X & 0 & 4.19 \\ X & 5.24 & 4.48 & X & X & X & 0 \end{bmatrix}
 \end{matrix} \quad (4.5)$$

Conținutul matricii îl reprezintă timpul de transport al unei piese dintr-o stație în alta calculat în secunde. Bineînțeles, timpul corespunzător de transport de la o stație la ea însăși este 0. Datorită restrângerilor aplicate prin care interzicem unei componente să treacă haotic prin toate stațiile, acolo unde transportul nu este posibil, este trecut X. Un alt aspect interesant descoperit în momentul construirii acestei matrici, este diferența timpilor măsurați pe aceeași traictorie, dar în sens invers. Spre exemplu timpul de la Conveyor la Drilling_2 este 3.74s, iar de la Drilling_2 la Conveyor 3.88s. Acest fapt se datorează ori orientării brațului robotic ori timpului de scanare al codului.

Având aceste detalii la dispoziție, am putut implementa o logică pentru ceea ce am discutat mai sus. Ieșirea funcției de optimizare este *nextPosition*, iar intrările sunt următoarele:

- *job* – o variabilă de tip *Order* prin care verific dacă robotul este în starea de repaus;
- *lastPosition* – variabilă de tip *Position* prin care salvez ultima poziție în care se află robotul;
- *startTime* - variabilă de tip *Time* prin care memorez timpul la care fiecare stație și-a început procesul;
- *cycleTime* - variabilă în care salvez timpul mediu de execuție al fiecărei stații;
- *availableModules* – variabilă prin care verific disponibilitatea stațiilor;

Primul pas pe care această funcție îl execută este culegerea datelor necesare calculelor. Datele sunt mai apoi salvate local și modificate. În cazul în care nu există niciun ordin disponibil, ea este apelată. Se efectuează calcule precum cele exemplificate în cadrul prezentării figurii 4.36 și se returnează o estimare a poziției viitoare. Această estimare nu este întotdeauna cea corectă, iar prin urmare ea trebuie examinată. Pentru asta verificăm starea următorului modul în secvență după stația rezultată în urma aplicării funcției. Dacă acesta este liber, ieșirea funcției o reprezintă estimarea făcută. Dacă modulul următor nu este liber, se recalculează o nouă estimare ignorând-o pe prima și se repetă procesul. Dacă nicio estimare nu este bună din cele cinci posibile, înseamnă că toate stațiile procesului nostru sunt pline, deci prin urmare, robotul trebuie dus pe poziția modulelor de test care preced modulul de ieșire din sistem. Pseudocodul aferent acestui algoritm este prezentat mai jos, însă pentru o explicare cât mai simplă am ales să tratez stațiile de același tip ca fiind o singură instanță.

Algoritmul 4.3 Optimizare

```

1: Intrări: job, lastPosition, startTime=[TC, TD1, TD2, TT1, TT2, TT3], cycleTime=[TC, TD1, TD2,
   TT1, TT2, TT3], AvailableModules
2: leșiri: nextPosition
3: if job = noJob then
4:   for i = 0 to modulesNumber do
5:     shortestTime[i] ← startTime[i] + movementTime[lastPosition][i] + cycleTime[i]
6:   end for
7:   minValue ← getMinOf(shortestTime)
8:   minIndex ← getIndexOf(minValue)
9:   finalPosition ← minIndex
10:  switch finalPosition do
11:    case conveyorPosition
12:      if drilling = empty then
13:        nextPosition = conveyorPosition
14:      else
15:        shortestTime[finalPosition] ← maxValue + 1
16:      end if
17:    case drillingPosition
18:      if test = empty then
19:        nextPosition = drillingPosition
20:      else
21:        shortestTime[finalPosition] ← maxValue + 1
22:      end if
23:    case testPosition
24:      if metalization = empty then
25:        nextPosition = testPosition
26:      else
27:        shortestTime[finalPosition] ← maxValue + 1
28:      end if
29:    if noPositionAvailable then
30:      nextPosition ← testPosition
31:    end if
32:  else
33:    nextPosition ← NoPositionFound
34:  end if
35: return nextPosition

```

4.4 Testarea algoritmului implementat

Pentru partea de testare am ales să măsoar timpul necesar prelucrării a cinci piese cu funcția de optimizare atât pornită, cât și oprită pentru a putea observa rezultatele. Pentru asta m-am folosit de aceeași funcție de măsurare bazată pe *trigger*-e. Am ales ca testul să se realizeze pe un caz ideal, în care timpii de procesare aleatoriu ai stațiilor sunt fixi, pentru a avea o mai bună reprezentare a efectelor aplicării unei astfel de optimizări. Rezultatele pot fi observate în figura 4.38. Pentru 5 piese, fără funcția de optimizare pornită, timpul total de procesare a fost de 399.26 secunde. Pentru același număr de

piese și aceeași ordine a stațiilor, dar de data aceasta cu funcția de optimizare pornită, timpul de prelucrare a ajuns doar la 389.78 secunde. Diferența de 10 secunde este una ideală datorită parametrilor aleși, dar în realitate, ea depinde foarte mult de timpii aleși aleatoriu și de viteza setată a robotului. După un calcul simplu putem estima că producția a crescut cu aproximativ 27 de piese la o durată de funcționare de 24 de ore.

'POU' (350): Elapsed time for 5 parts with optimization mode off is: 399.26 s

'POU' (350): Elapsed time for 5 parts with optimization mode on is: 389.78 s

Figura 4.38: Rezultate în urma aplicării optimizării

5 Concluzii și Direcții de dezvoltare

5.1 Concluzii

Conceperea, dezvoltarea și testarea unui astfel de proiect implică o serie de evenimente ce trebuie puse în ordinea corectă încă de la început. Cunoașterea tehnologiilor, dar și a aparaturii *hardware* folosite necesită un volum mare de timp de studiu, însă rezultatele sunt pe măsură. De asemenea, este bine cunoscut faptul că îmbunătățirea unui proces industrial din toate punctele de vedere este aproape imposibilă. De aceea, această lucrare se bazează în principal pe un singur aspect și anume optimizarea secvenței de mișcări a unui robot, în vederea scăderii timpului de ciclu.

Cel mai anevoios moment în crearea acestei lucrări a fost gândirea unui proces pentru care o metodă de optimizare poate scoate în evidență într-un mod cât mai precis și intuitiv importanța bunelor practici în ceea ce privește programarea, compunerea și configurarea unui proces industrial, în care robotul este principalul element de execuție. Alegerea limbajului de programare s-a făcut rapid datorită singurei specificații impuse, viteza. Chiar dacă stațiile sunt simulate, ele reprezintă cu un procent ridicat de precizie principalele caracteristici ale unei stații reale: tehnici de comunicare, metode de programare modulară, flux de evenimente etc. Integrarea robotului într-un astfel de proces implică lucruri precum crearea comunicațiilor aferente, definirea pozițiilor stațiilor, evitarea obstacolelor și simularea acestuia într-un mediu 3D pentru dovedirea siguranței. Fluxul aplicației a fost gândit și creat pentru a simula în exactitate caracteristicile unui proces real.

În urma testelor efectuate se observă că metoda de optimizare dă roade în ceea ce privește acest proces, dar nu numai. Datorită capabilităților de adaptare la diferiți parametrii în cadrul acestei aplicații, precum timpul de prelucrare al pieselor, dar și la o structură diferită de proces prin scoaterea sau adăugarea unor stații, aplicația poate servi ca punct de plecare pentru o implementare mai amplă în vederea optimizării altor procese industriale, unde atenția este focusată asupra unui braț robotic.

Aplicația poate fi rulată și analizată având un minim de cunoștințe datorită interfețelor vizuale create și puse la dispoziția utilizatorilor atât pentru aplicația de *plc*, cât și pentru programul robotului. Prin utilizarea acestor interfețe, utilizatorii se pot concentra mai mult pe partea de secvență de mișcări și mai puțin pe partea de implementare a acestora.

Consider că am reușit să acopăr toate obiectivele propuse în capitolul de introducere și să scot în evidență aspecte importante, de multe ori ignorate, cu privire la modul de integrare al roboților în mediul industrial.

5.2 Direcții de dezvoltare

Deoarece am dorit încă din primul moment al creării acestei lucrări ca aplicația să poată servi ca model în vederea altor implementări, o primă direcție de dezvoltare este crearea unui manual în care este explicat pas cu pas fiecare aspect de la crearea programului propriu-zis la lansarea acestuia în execuție. Manualul trebuie să conțină date cu privire la: modul de gândire al comunicațiilor, al stațiilor și al robotului. Fiind un domeniu atât de vast și de răspândit, echipamentul folosit este utilizat, probabil, într-un procent mic. Prin urmare, pentru a facilita implementarea aplicațiilor și pe alte echipamente, o altă direcție de dezvoltare posibilă este crearea pseudocodului aferent atât programului de *Twincat 3*, cât și programului din *Stäubli Robotics Suite*. Acest lucru duce la capabilitatea de folosință pe scară largă, indiferent de modelul de *plc* sau de robotul folosit.

Întreg fluxul aplicației se bazează pe faptul că o singură componentă poate fi transportată, la un moment de timp, de la o stație la alta. O îmbunătățire vizibilă este adăugarea unui element de prindere ce poate lua două sau chiar trei piese în același timp. Prin acest lucru se creează cu un efort minim încă o poziție auxiliară în care o piesă poate staționa în cazul în care modulul următor nu este încă liber. Bineînțeles, acest aspect duce la eliberarea mai rapidă a stațiilor curente, indiferent de disponibilitatea stațiilor următoare și la posibilitatea completării lor cu alte componente în așteptare.

O altă îmbunătățire ce poate fi adusă acestei aplicații este introducerea unui alt robot în sistem care să folosească același spațiu de lucru. Pentru asta, în viitorul apropiat, doresc să concep o strategie de colaborare între ei care să crească nivelul producției. Un prim avantaj al acestei abordări este faptul că distanțele parcurse de fiecare robot se înjumătățesc, iar mai mult, deplasările se desfășoară concomitent. În vederea atingerii acestui obiectiv, doresc să proiectez o metodă de evitare a coliziunilor dintre aceștia, care să mențină sau chiar să îmbunătățească timpul de ciclu aferent procesului, bazată pe tehnici și tehnologii folosite în domeniul inteligenței artificiale cu date rezultate în urma implementării acesteia într-un mediu 3D simulat.

6 Bibliografie

- [1] W. Bolton, Programmable logic controllers, Newnes, 2015, pp. 1-24.
- [2] D. H. Hanssen, Programmable logic controllers: a practical approach to IEC 61131-3 using CODESYS, John Wiley & Sons, 2015.
- [3] M. G. Hudedmani, S. K. Kabberalli, R. M. Umayal și R. Hittalamani, „Programmable logic controller (PLC) in automation,” *Advanced Journal of Graduate Research*, vol. 2, nr. 1, pp. 37-45, 2017.
- [4] I. Ahmed, S. Obermeier, S. Sudhakaran și V. Roussev, „Programmable logic controller forensics,” *IEEE Security & Privacy*, vol. 15, nr. 6, pp. 18-24, 2017.
- [5] D. U. Case, „Analysis of the cyber attack on the Ukrainian power grid,” *Electricity Information Sharing and Analysis Center (E-ISAC)*, vol. 388, pp. 1-29, 2016.
- [6] E. N. Yilmaz și S. Gönen, „Attack detection/prevention system against cyber attack in industrial control systems,” *Computers & Security*, vol. 77, pp. 94-105, 2018.
- [7] G. F. Rossano, C. Martinez, M. Hedelind , S. Murphy și T. A. Fuhlbrigge, „Easy robot programming concepts: An industrial perspective,” în *2013 IEEE international conference on automation science and engineering (CASE)*, 2013, pp. 1119-1126.
- [8] S. Y. Nof, Springer handbook of automation, Springer, 2009.
- [9] D. Dzung , M. Naedele, T. P. Von Hoff și M. Crevatin, „Security for industrial communication systems,” *Proceedings of the IEEE*, vol. 93, nr. 6, pp. 1152-1177, 2005.
- [10] X. Li, D. Li, J. Wan , A. V. Vasilakos, C.-F. Lai și S. Wang, „A review of industrial wireless networks in the context of industry 4.0,” *Wireless networks*, vol. 23, nr. 1, pp. 23-41, 2017.
- [11] V. C. Gungor și G. P. Hancke, „Industrial wireless sensor networks: Challenges, design principles, and technical approaches,” *IEEE Transactions on industrial electronics*, vol. 56, nr. 10, pp. 4258-4265, 2009.
- [12] Y.-J. Park, G. Ahn și S. Hur, „Optimization of pick-and-place in die attach process using a genetic algorithm,” *Applied Soft Computing*, vol. 68, pp. 856-865, 2018.
- [13] Beckhoff. [Online]. Available: <https://www.beckhoff.com/en-us/>. [Accessed 17 05 2022].
- [14] Stäubli, "Stäubli," [Online]. Available: <https://www.staubli.com/ch/en/corp.html>. [Accessed 22 05 2022].
- [15] EtherCAT, "EtherCAT Technology Group," [Online]. Available: <https://www.ethercat.org/default.htm>. [Accessed 19 05 2022].